

Kanton Bern

Gemeinden Sutz-Lattrigen / Ipsach / Möriren

23.3



Linie Biel – Ins (T)

## Sanierung Bahnhof Lattrigen

- Gleis- und Publikumsanlage km 4.675 – 5.150
- Sicherungs- und Fahrleitungsanlage km 2.790 – 5.558
- Inkl. Aufhebung Bahnübergang Sonnmatt km 4.686

Auflageprojekt 2020

Statik  
Perrondach

Auftrag Nr. 92-22.27	<p>Auftraggeber:</p>  <p><b>Aare Seeland mobil AG</b> Grubenstrasse 12 <b>4900 Langenthal</b></p> <p>Gesamtprojektleiter: Daniel Nadig Telefon 062 919 19 52 Fax 062 919 19 12 <a href="mailto:daniel.nadig@asmobil.ch">daniel.nadig@asmobil.ch</a></p> 	<p>Projektverfasser:</p>  <p><b>SCHMID &amp; PLETSCHER</b> BAUINGENIEURE ETH/SIA/USIC</p> <p>Schmid &amp; Pletscher AG Bauingenieure ETH/SIA/USIC Hauptstrasse 66, CH-2560 Nidau Postfach 76, Tel. 032 332 20 30 <a href="http://www.schmid-und-pletscher.ch">www.schmid-und-pletscher.ch</a></p> <p>Projektleiter: René Leupi</p> 
Datum: 16.07.2020		
Änderungen:		

h:\dat\b\_asmbix\2aufproj\berichte\2-tb\_ipsach\_160201.doc

## Inhaltsverzeichnis

<b>1</b>	<b>Einleitung.....</b>	<b>2</b>
<b>2</b>	<b>Einwirkungen.....</b>	<b>2</b>
<b>3</b>	<b>Statik Stahlstützen und Querträger.....</b>	<b>2</b>
3.1	Struktur Axis Model .....	2
3.2	Belastung .....	3
3.3	Belastung aus Fahrleitungsmast 4N, 5N und 6N.....	7
3.4	Aussergewöhnliche Lasten - Anprall.....	11
3.5	Resultate für Tragsicherheit ELU .....	12
3.6	Resultate für Gebrauchstauglichkeit ELS .....	14
3.7	Resultate für Gebrauchstauglichkeit ELS – Masten .....	19
3.8	Resultate für Aussergewöhnliche Bemessungssituationen - Anprall .....	20
3.9	Stahlbemessung, Tragsicherheitsnachweise .....	23
3.10	Nachweis für Stahl Stützen HEA 300 S235 .....	24
3.11	Nachweis für Stahl Träger HEB 240 S235 .....	31
<b>4</b>	<b>Fundamente.....</b>	<b>37</b>
4.1	Lastfälle .....	37
4.2	Statik .....	42
<b>5</b>	<b>Skizzen .....</b>	<b>52</b>
<b>6</b>	<b>Grundlagen .....</b>	<b>54</b>
6.1	Gesetzliche Grundlagen .....	54
6.2	Normen .....	54
6.3	Reglemente, Weisungen und Merkblätter .....	54
6.4	Projektspezifische Grundlagen .....	54
<b>7</b>	<b>Unterschriften.....</b>	<b>54</b>

## 1 Einleitung

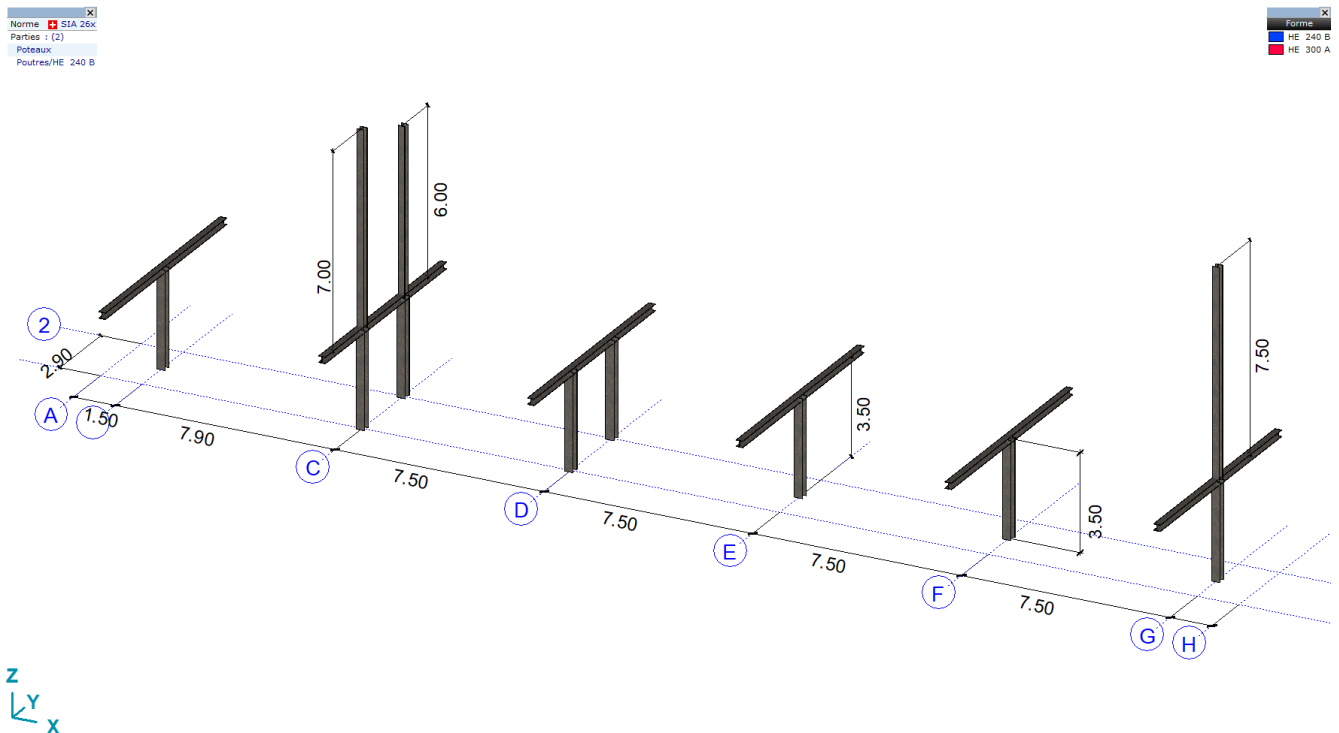
Das Perrondach wurde mit dem Programm Axis VM 13 berechnet.

## 2 Einwirkungen

Die Einwirkungen sind in der Projektbasis [4] detailliert beschrieben.

## 3 Statik Stahlstützen und Querträger

### 3.1 Struktur Axis Model

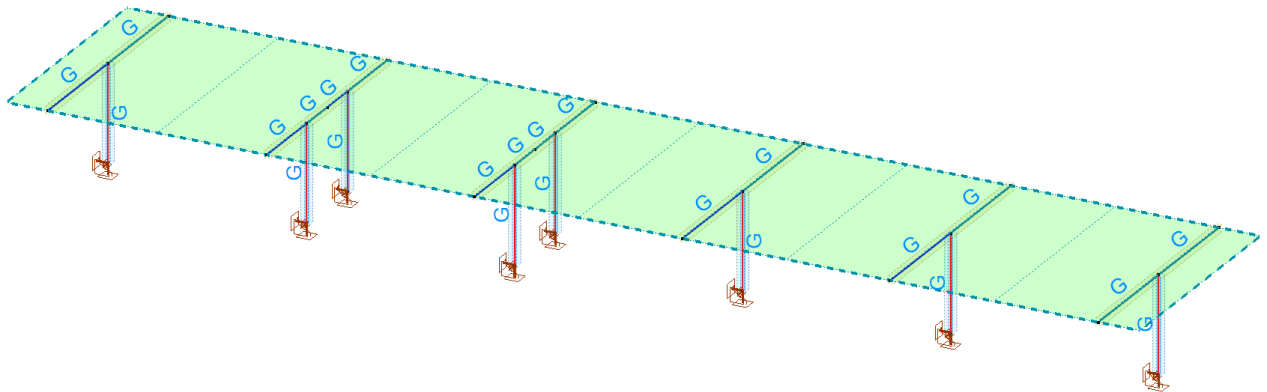


## 3.2 Belastung

Eigengewicht = Alle Stäbe

Norme: SIA 26x  
 Cas: EG  
 Parties: (2)  
 Poutres/HE: 300 A  
 Poutres/HE: 240 B

Forme:  
 HE 240 B  
 HE 300 A

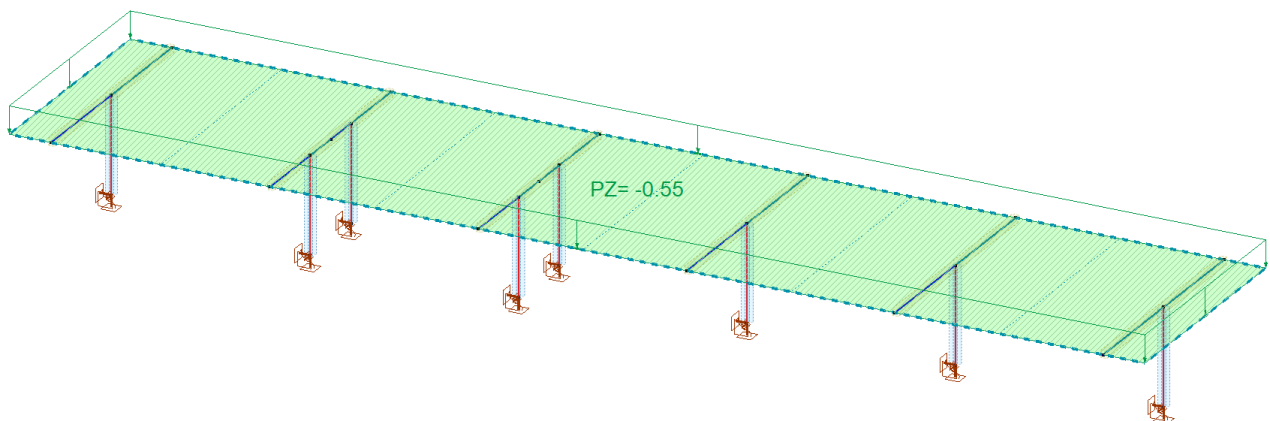


Z  
Y  
X

Dachkonstruktion  $g_k = 0.55 \text{ kN/m}^2$

Norme: SIA 26x  
 Cas: Dachkonstruktion  
 Parties: (2)  
 Poutres/HE: 300 A  
 Poutres/HE: 240 B

Forme:  
 HE 240 B  
 HE 300 A

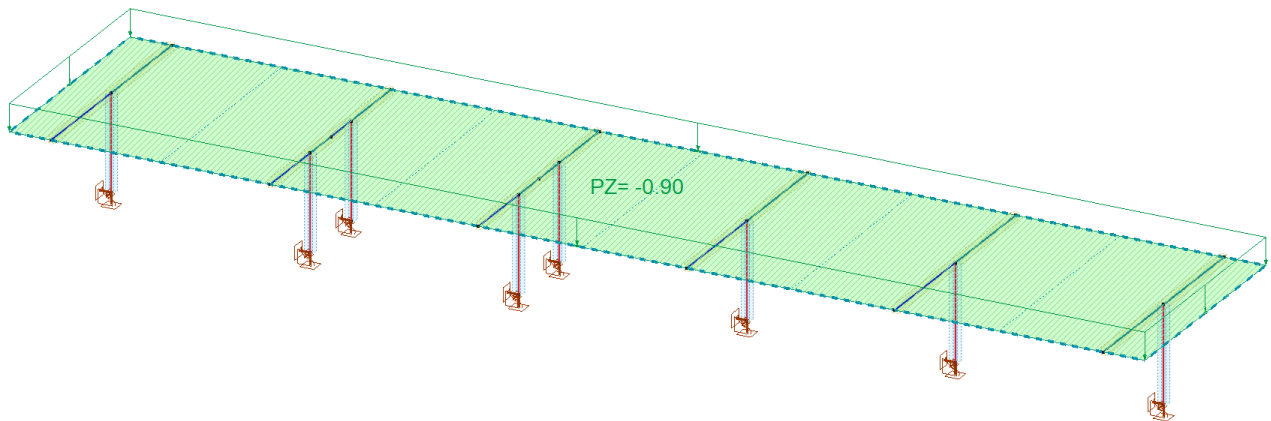


Z  
Y  
X

Schneelast  $q_k = 0.90 \text{ kN/m}^2$

Norme: SIA 26k  
 Cas: Schnee UD  
 Parties: (2)  
 Poutres/HE: 300 A  
 Poutres/HE: 240 B

Forme:  
 HE 240 B  
 HE 300 A

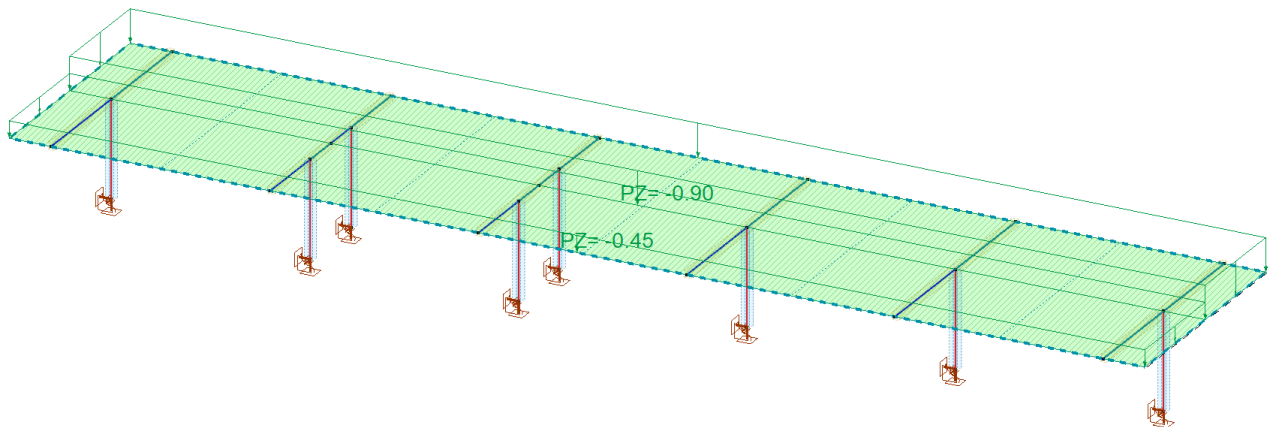


z  
y  
x

Schneelast asymmetrisch 1  $q_k = 0.90 \text{ kN/m}^2 / q_k = 0.45 \text{ kN/m}^2$

Norme: SIA 26k  
 Cas: Schnee asymmetrisch\_1  
 Parties: (2)  
 Poutres/HE: 300 A  
 Poutres/HE: 240 B

Forme:  
 HE 240 B  
 HE 300 A

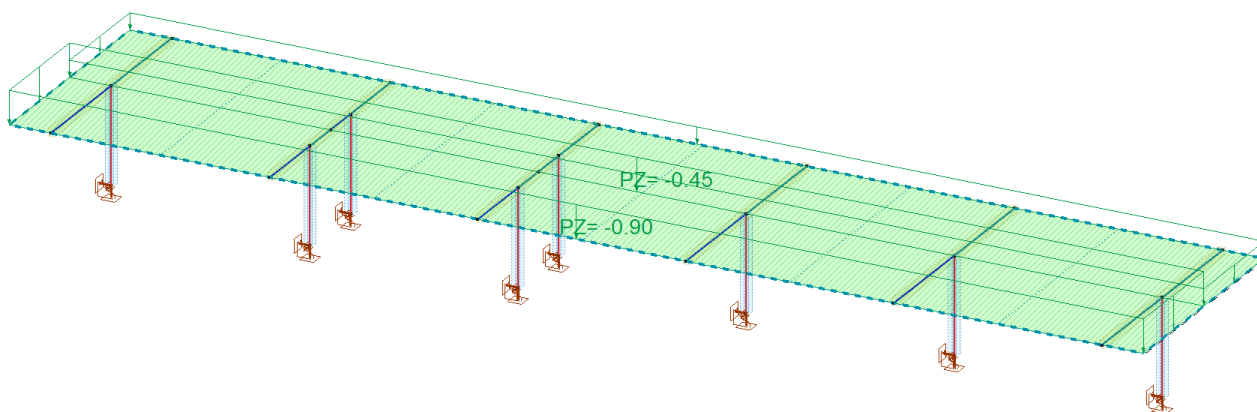


z  
y  
x

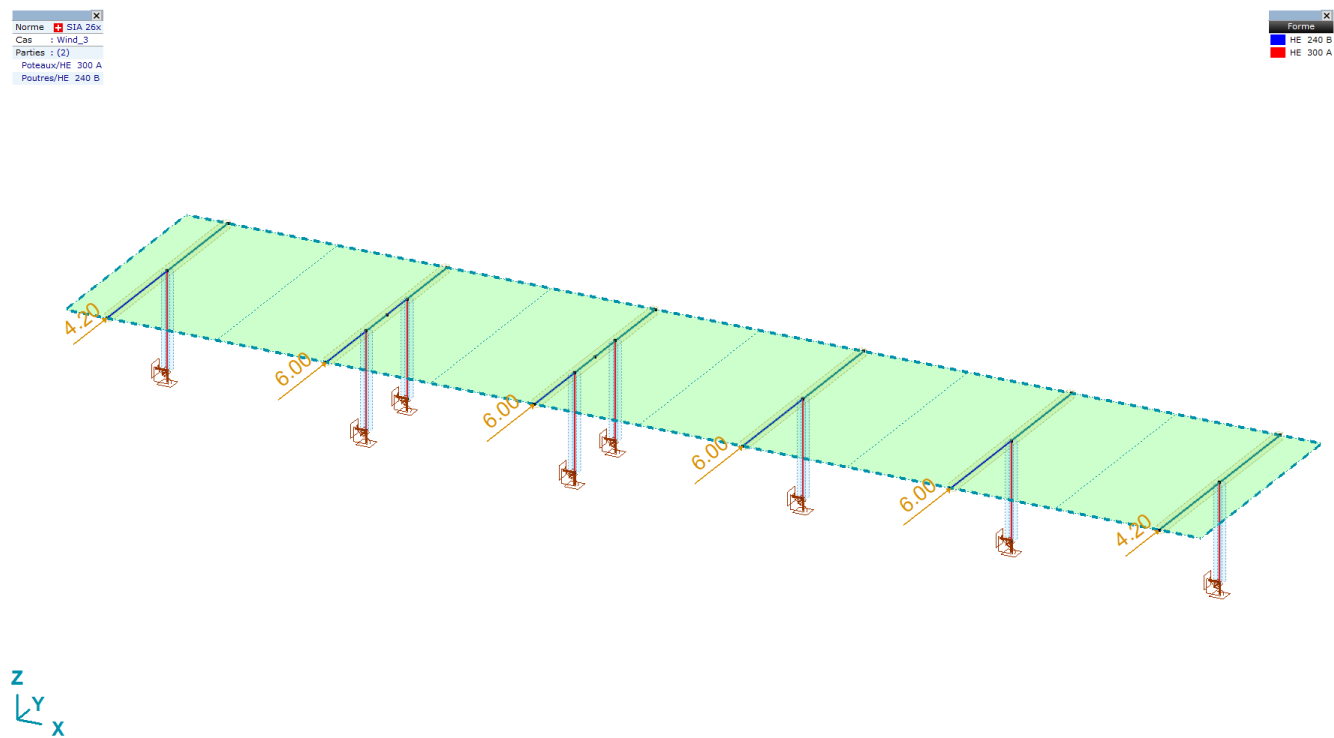
Schneelast asymmetrisch 2  $q_k = 0.45 \text{ kN/m}^2$  /  $q_k = 0.90 \text{ kN/m}^2$

Norme: SIA 261  
Cas: Schnee asymmetrisch\_2  
Parties: (2)  
Poutres/HE: 300 A  
Poutres/HE: 240 B

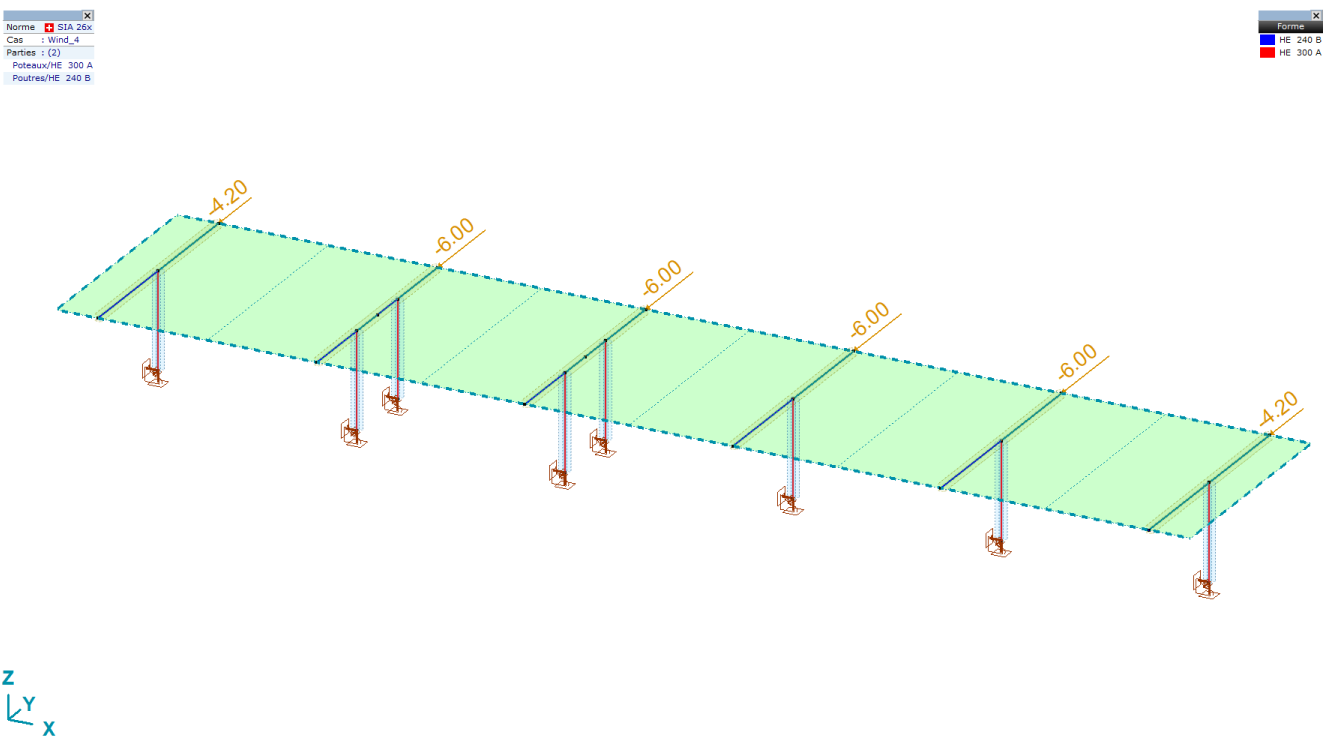
Forme:  
HE 240 B  
HE 300 A



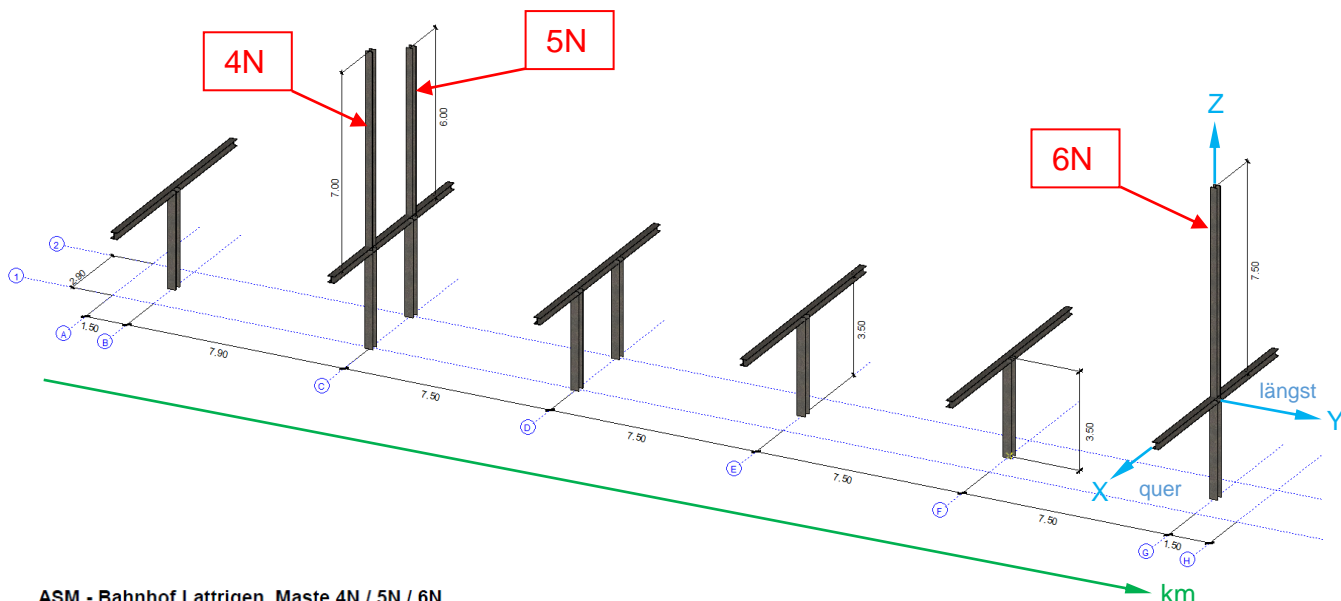
Windlasten: Wind 1



Windlasten: Wind 2



### 3.3 Belastung aus Fahrleitungsmast 4N, 5N und 6N



#### ASM - Bahnhof Lattrigen, Maste 4N / 5N / 6N

#### Fundamentlasten (Stand 28.01.2020 / AES)

Lasten in kN und kNm -> effektive Lasten (exkl. Sicherheitsfaktoren)!

Vorzeichenregel	Lasten	vertikal z, vert	+	entlastend, abhebend
		horizontal, quer x, qu	+	QP: --> rechts (Blickrichtung Kilometrierung)
			-	QP: <-- links (Blickrichtung Kilometrierung)
		horizontal, längs y, lä	+	mit km
			-	gegen km

km	Mast-Nr.	Mast	Joch		Hx,qu kN	My,qu kNm	Hy,lä kN	Mx,lä kNm	Vz kN	HAnk,y,lä kN	VAnk,z kN
1	4.907	<b>4N</b> HEB240 - 7.00m auf Perrondach (x ~ +3.70 m)	-	ständig ständig ± W_qu ständig ± W_lä	-8.1 -11.9/-4.3 -8.1	-24.4 -36.4/-11.0 -24.4	- - ±3.2	- - ±11.7	-13.3 -13.3 -13.3	- - -	- - -
Achtung: Mast auf Perrondachkonstruktion -> Gesamtverformung Mastspitz quer auf 1% begrenzen -> Steifigkeit Perrondachstütze !!!											
2	4.907	<b>5N</b> HEB240 - 6.00m auf Perrondach (x ~ +3.70 m)	-	ständig ständig ± W_qu ständig ± W_lä	-0.4 -2.8/+3.6 -0.4	-9 -20.5/+2.5 -9	- - ±2.8	- - ±8.7	-9.7 -9.7 -9.7	- - -	- - -
Achtung: Mast auf Perrondachkonstruktion -> Gesamtverformung Mastspitz quer auf 1% begrenzen -> Steifigkeit Perrondachstütze !!!											
3	4.934	<b>6N</b> HEB240 - 7.50m auf Perrondach (x ~ +3.70 m)	-	ständig ständig ± W_qu ständig ± W_lä	-3.4 -9.7/+2.9 -3.4	-4.6 -25.6/-22.2 -4.6	- - ±3.8	- - ±14.6	-19.2 -19.2 -19.2	- - -	- - -
Achtung: Mast auf Perrondachkonstruktion -> Gesamtverformung Mastspitz quer auf 1% begrenzen -> Steifigkeit Perrondachstütze !!!											
4	4.934	<b>6N</b> einseitige Anordnung HEB240 - 7.50m auf Perrondach (x ~ +3.70 m)	-	ständig ständig ± W_qu ständig ± W_lä	-2.7 -8.2/+2.8 -2.7	-6.9 -25.7/-17.7 -6.9	- - ±3.4	- - ±14.6	-18.5 -18.5 -18.5	- - -	- - -
Achtung: Mast auf Perrondachkonstruktion -> Gesamtverformung Mastspitz quer auf 1% begrenzen -> Steifigkeit Perrondachstütze !!! Eine einseitige Anordnung Ausleger bringt teils grössere Schnittgrössen (My,qu) am Mastfuss											



4N	Hx,qu		My,qu		Hy,lä		Mx,lä		Vz
<b>Ständig</b>	<b>-8.1</b>		<b>-24.4</b>		<b>-</b>		<b>-</b>		<b>-13.3</b>
Ständig +- W_qu	-11.9	-4.3	-36.4	-11	-		-		-13.3
<b>W_qu</b>	<b>-3.8</b>	<b>3.8</b>	<b>-12</b>	<b>13.4</b>					<b>0</b>
Ständig +- W_lä	-8.1		-24.4		-3.2	3.2	-11.7	11.7	-13.3
<b>W_lä</b>	<b>0</b>		<b>0</b>		<b>-3.2</b>	<b>3.2</b>	<b>-11.7</b>	<b>11.7</b>	<b>0</b>

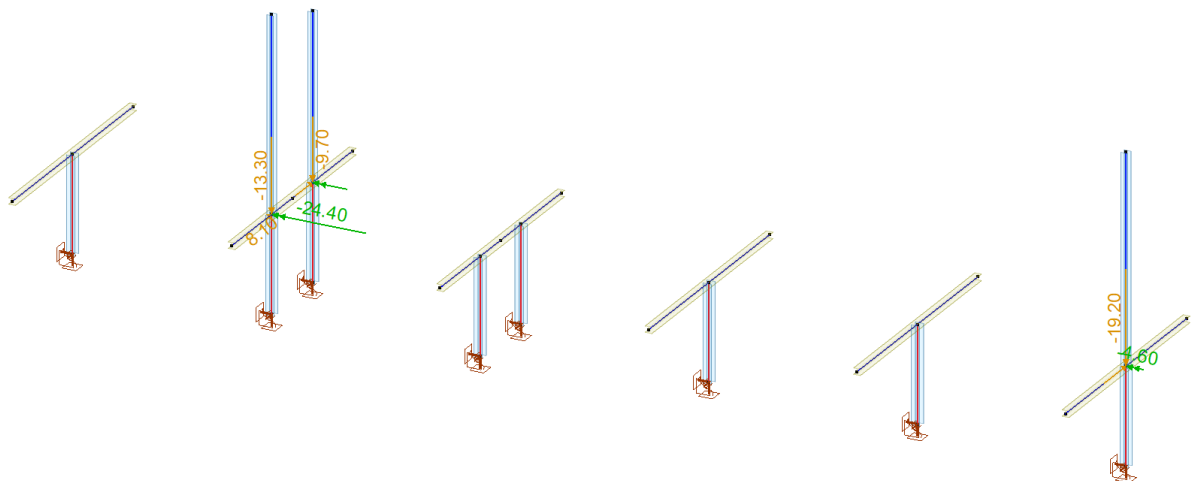
5N	Hx,qu		My,qu		Hy,lä		Mx,lä		Vz
<b>Ständig</b>	<b>-0.4</b>		<b>-9</b>		<b>-</b>		<b>-</b>		<b>-9.7</b>
Ständig +- W_qu	-2.8	3.6	-20.5	2.5	-		-		-9.7
<b>W_qu</b>	<b>-2.4</b>	<b>4</b>	<b>-11.5</b>	<b>11.5</b>					<b>0</b>
Ständig +- W_lä	-0.4		-9		-2.8	2.8	-8.7	8.7	-9.7
<b>W_lä</b>	<b>0</b>		<b>0</b>		<b>-2.8</b>	<b>2.8</b>	<b>-8.7</b>	<b>8.7</b>	<b>0</b>

6N	Hx,qu		My,qu		Hy,lä		Mx,lä		Vz
<b>Ständig</b>	<b>-3.4</b>		<b>-4.6</b>		<b>-</b>		<b>-</b>		<b>-19.2</b>
Ständig +- W_qu	-9.7	2.9	-25.6	-22.2	-		-		-19.2
<b>W_qu</b>	<b>-6.3</b>	<b>6.3</b>	<b>-21</b>	<b>-17.6</b>					<b>0</b>
Ständig +- W_lä	-3.4		-4.6		-3.8	3.8	-14.6	14.6	-19.2
<b>W_lä</b>	<b>0</b>		<b>0</b>		<b>-3.8</b>	<b>3.8</b>	<b>-14.6</b>	<b>14.6</b>	<b>0</b>

## Ständige Lasten von Mast

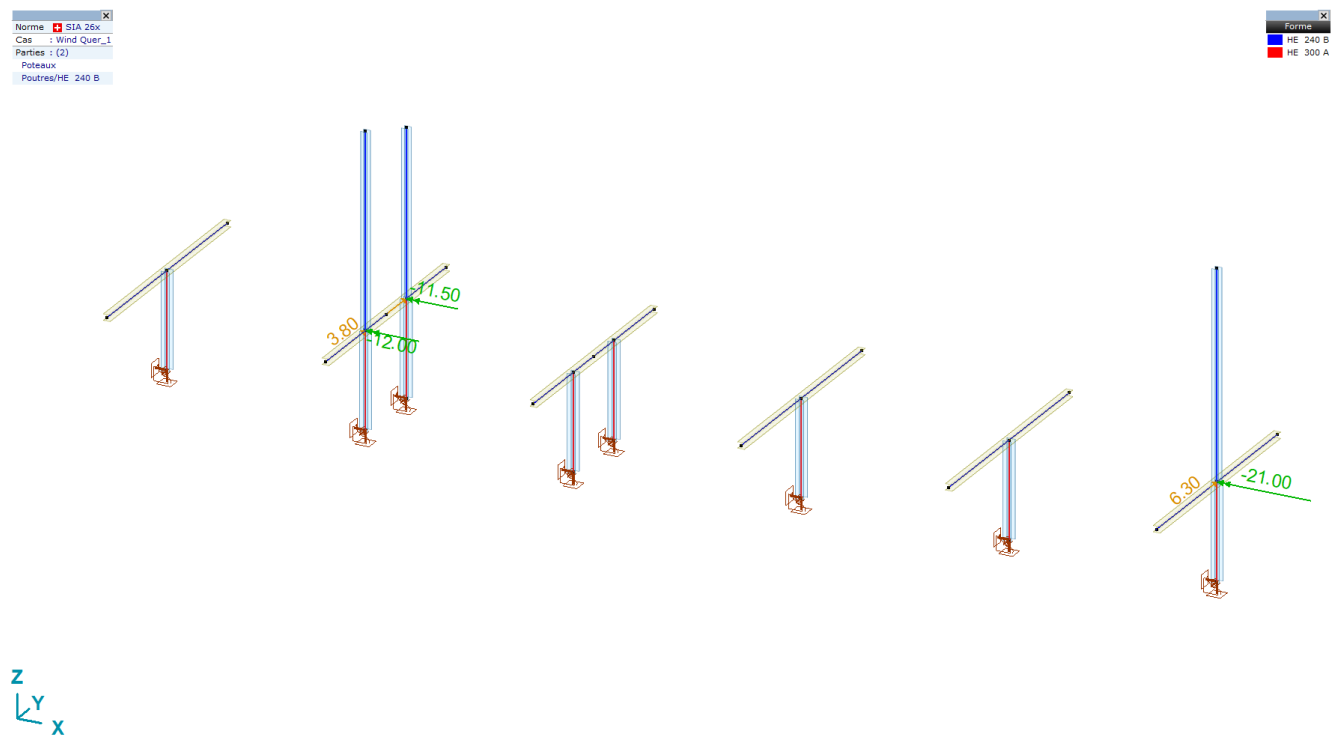
Norme: SIA 26x  
 Cas: Mast Ständige Lasten  
 Parties: (2)  
 Poutres: HE 240 B

Forme:  
 HE 240 B  
 HE 300 A

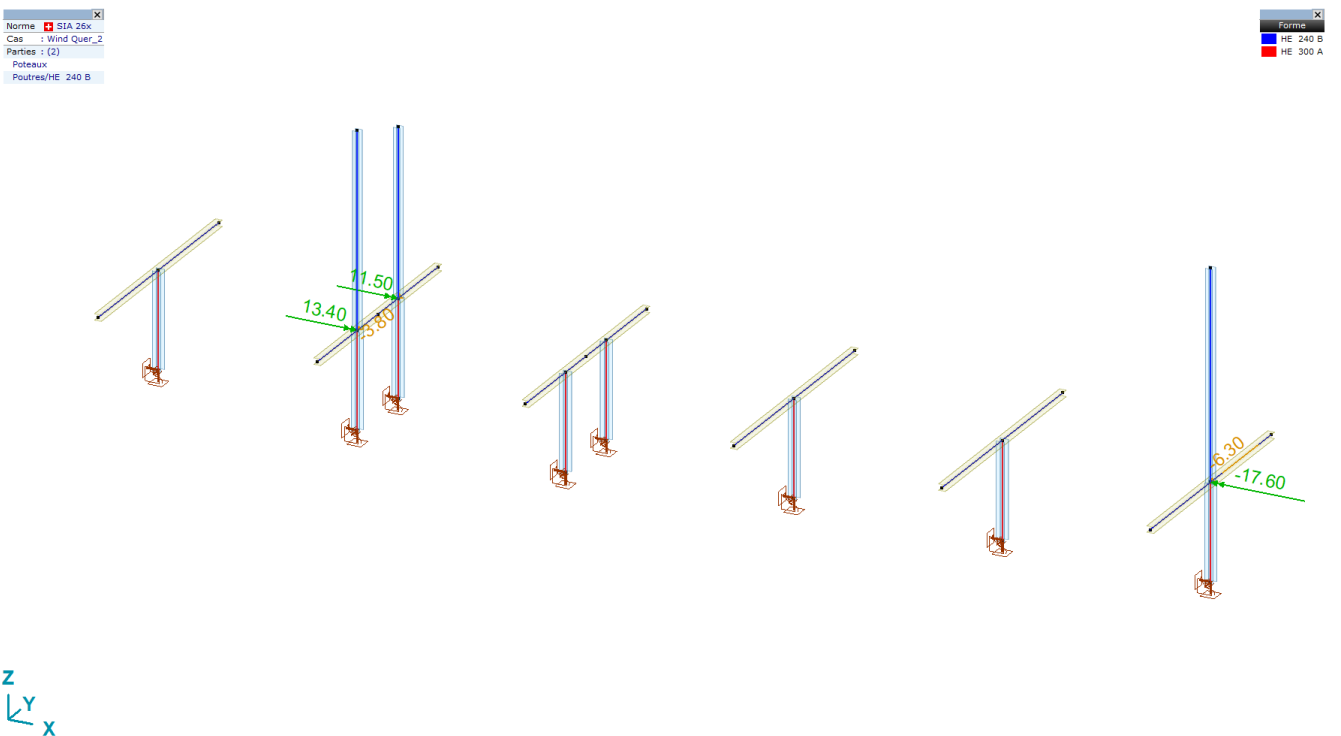


Z  
 Y  
 X

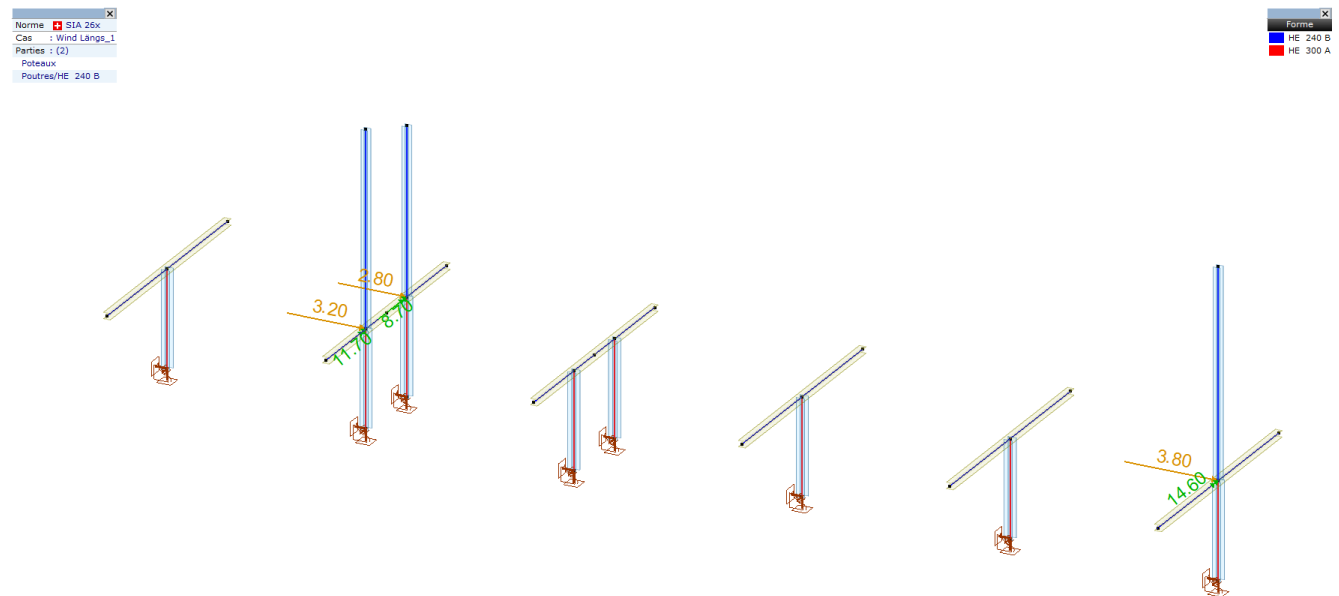
Windlasten aus Fahrleitungsmast



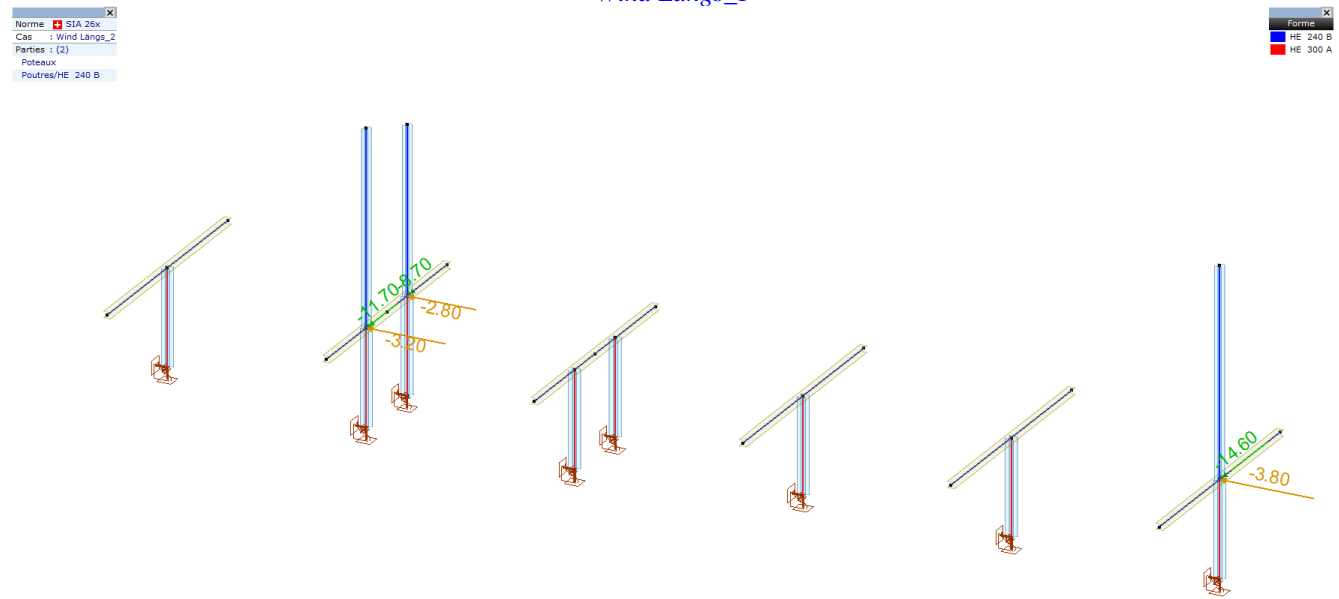
Wind Quer\_1



Wind Quer\_2



Wind Längs\_1



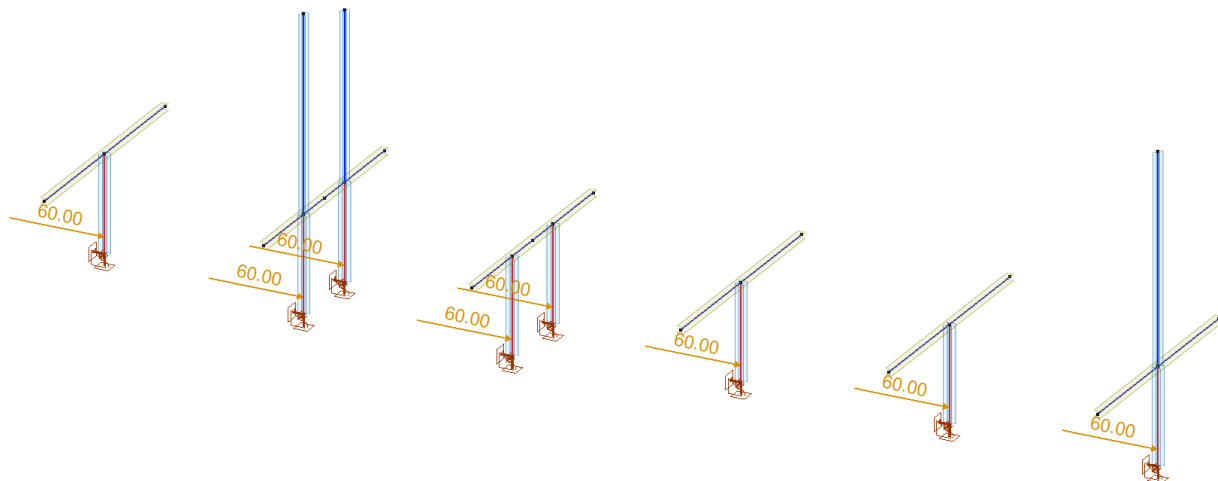
Wind Längs\_2

### 3.4 Aussergewöhnliche Lasten - Anprall

Anprall X Richtung  $Q_{gd,x} = 60\text{kN}$  auf 0.6m Höhe

Norme: SIA 26x  
Cas: Anprall x 60kN  
Parties: (2)  
Poteaux  
Poutres/HE 240 B

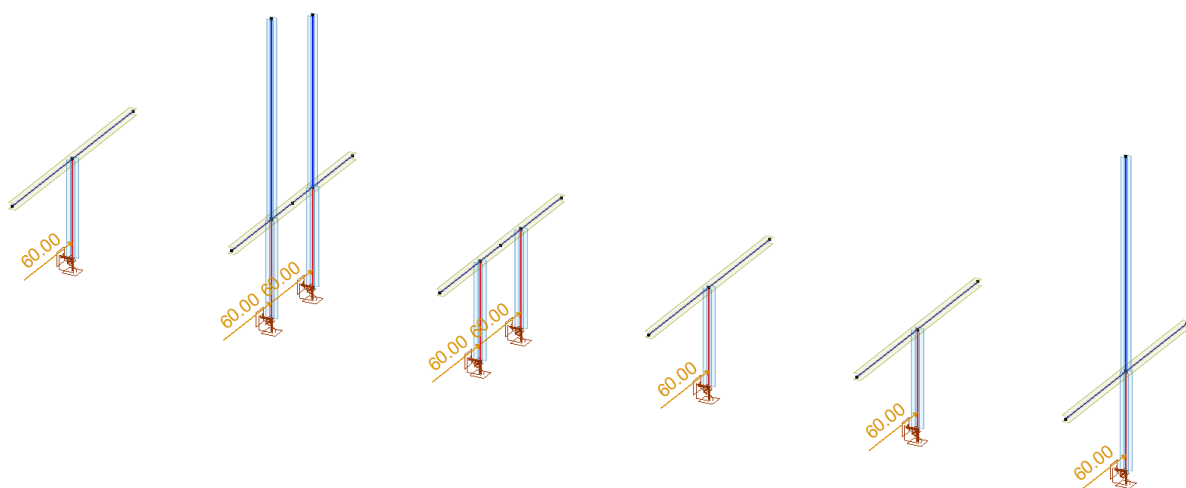
Forme  
HE 240 B  
HE 300 A



Anprall Y Richtung  $Q_{gd,y} = 60\text{kN}$  auf 0.6m Höhe

Norme: SIA 26x  
Cas: Anprall y 60kN  
Parties: (2)  
Poteaux  
Poutres/HE 240 B

Forme  
HE 240 B  
HE 300 A



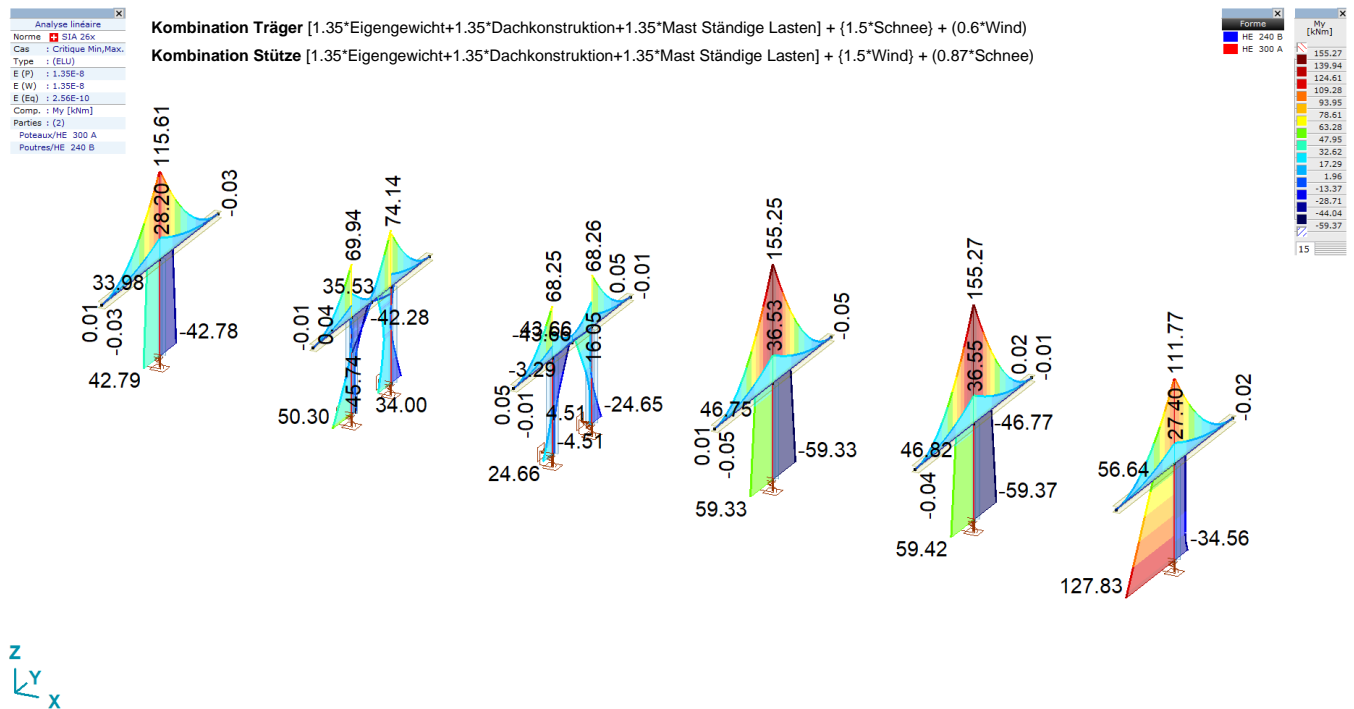
### 3.5 Resultate für Tragsicherheit ELU

$$M_{yRd} = (W_{ply} * f_y) / \gamma_{M1}$$

ELU kritische Min, Max Werte  $M_y$  [kNm]

Stütze:  $M_{yRd}$  HEA 300 S235 = 309.6 kNm

Träger:  $M_{yRd}$  HEB 240 S235 = 235.7 kNm

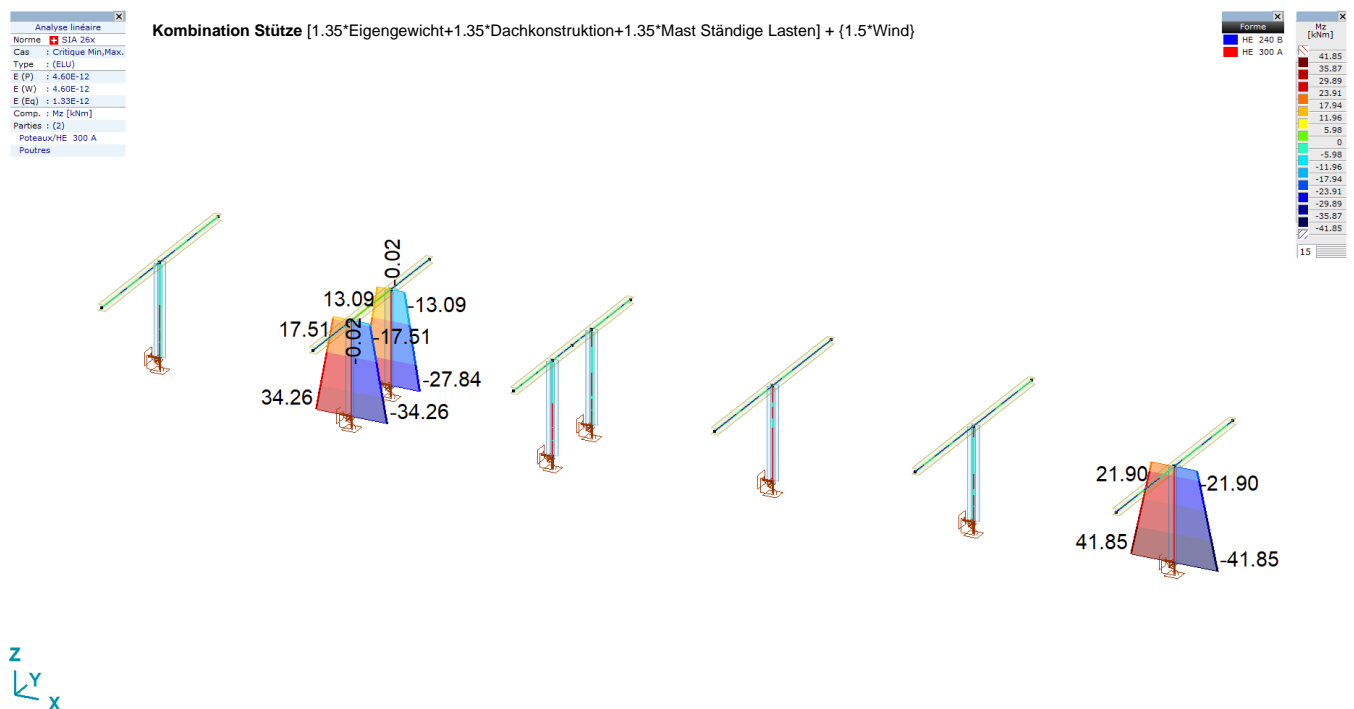


$$M_{zRd} = (W_{plz} * f_y) / \gamma_{M1}$$

ELU kritische Min, Max Werte  $M_z$  [kNm]

Stütze:  $M_{zRd}$  HEA 300 S235 = 143.5 kNm

Träger:  $M_{zRd}$  HEB 240 S235 = 111.6 kNm



ELU kritische Min, Max Werte  $N_x$  [kN]

Stütze:  $N_{kzRd}$  HEA 300 S235 = 1367 kN

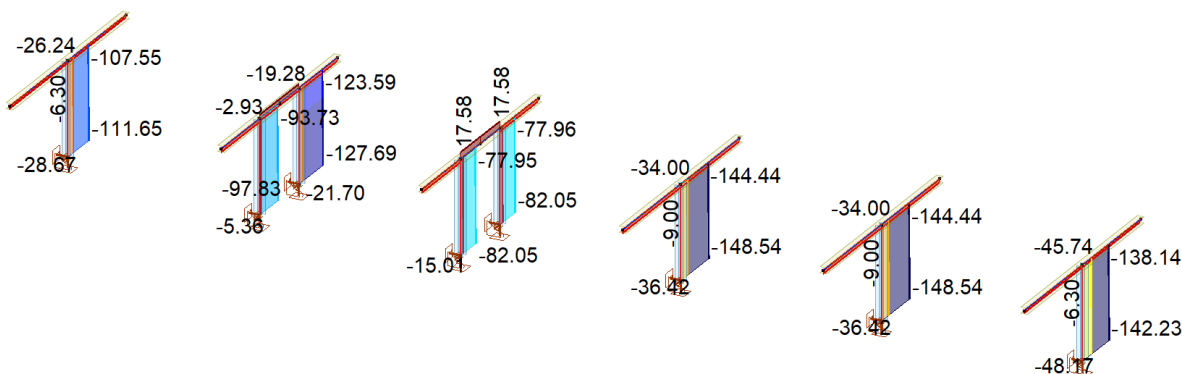
$l_k = 7m$



Analyse linéaire
Norme : SIA 26x
Cas : Critique Min/Max
Type : (ELU)
E (P) : 1.35E-8
E (W) : 1.35E-8
E (Ea) : 2.56E-10
Comp. : $N_x$ [kN]
Parties : (2)
Poteaux/HE 300 A
Poutres/HE 240 B

**Kombination Träger** [1.35\*Eigengewicht+1.35\*Dachkonstruktion+1.35\*Mast Ständige Lasten] + {1.5\*Wind}  
**Kombination Stütze** [1.35\*Eigengewicht+1.35\*Dachkonstruktion+1.35\*Mast Ständige Lasten] + {1.5\*Schnee}

Forme
HE 240 B
HE 300 A
$N_x$ [kN]
17.58
5.72
-6.15
-18.01
-29.88
-41.75
-53.61
-65.48
-77.34
-89.21
-101.08
-112.94
-124.81
-136.67
-148.54
15



$$V_{zRd} = A_v * (f_y / \sqrt{3}) * (1 / \gamma_{M1})$$

ELU kritische Min, Max Werte  $V_z$  [kN]

Stütze:  $V_{zRd}$  HEA 300 S235 = 482 kN

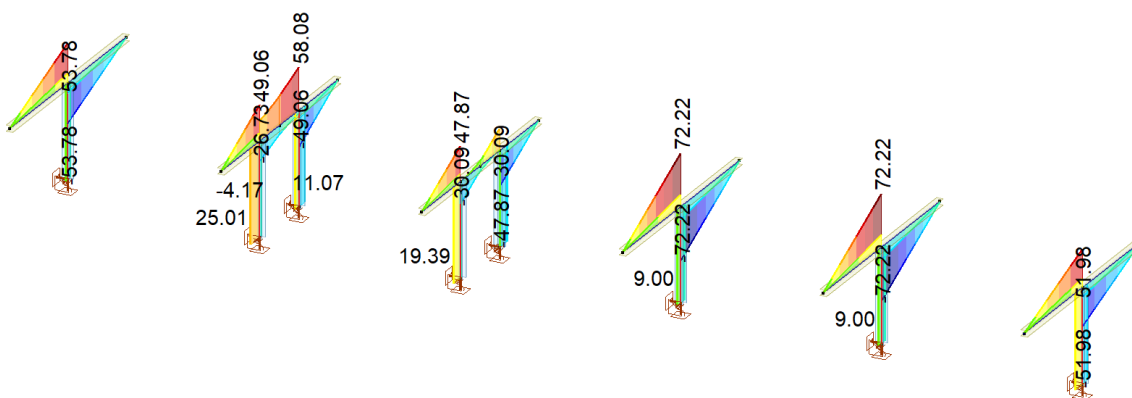
Träger:  $V_{zRd}$  HEB 240 S235 = 429 kN



Analyse linéaire
Norme : SIA 26x
Cas : Critique Min/Max
Type : (ELU)
E (P) : 1.35E-8
E (W) : 1.35E-8
E (Ea) : 2.56E-10
Comp. : $V_z$ [kN]
Parties : (2)
Poteaux/HE 300 A
Poutres/HE 240 B

**Kombination Träger** [1.35\*Eigengewicht+1.35\*Dachkonstruktion+1.35\*Mast Ständige Lasten] + {1.5\*Schnee}  
**Kombination Stütze** [1.35\*Eigengewicht+1.35\*Dachkonstruktion+1.35\*Mast Ständige Lasten] + {1.5\*Wind}

Forme
HE 240 B
HE 300 A
$V_z$ [kN]
72.22
61.91
51.59
41.27
30.95
20.64
10.32
0
-10.32
-20.63
-30.95
-41.27
-51.59
-61.90
-72.22
15



### 3.6 Resultate für Gebrauchstauglichkeit ELS

ELS Kritische Min, Max Werte Gebrauch **Selten** eX [mm]

$$u_{lim} \leq h/500 = 3500/500 = 7\text{mm}$$

Analyse linéaire
Norme : SIA 26x
Cas : Critique Min,Max
Type : (ELS Caractéristique)
E (P) : 4.60E-12
E (W) : 4.60E-12
E (Eq) : 1.33E-12
Comp. : eX [mm]
Parties : (2)
Poteaux/HE 300 A
Poutres

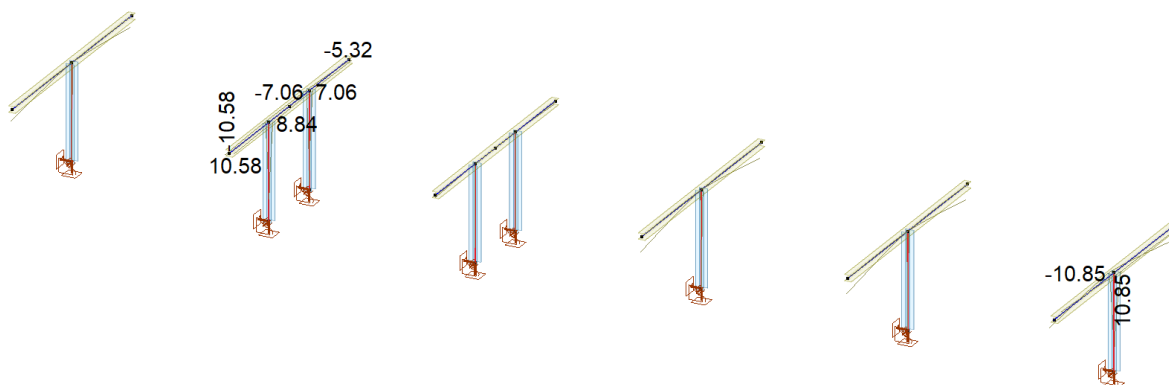
Kombination [Eigengewicht+Dachkonstruktion+Mast Ständige Lasten] + {Wind}



$$u_{max} = 10.96\text{mm} \geq u_{lim} = 7\text{mm}$$

Forme
HE 240 B
HE 300 A

*Nicht massgebend  
Keine Anforderung gemäss Norm*



ELS kritische Min, Max Werte Gebrauch **Selten** eY [mm]

$$u_{lim} \leq h/500 = 3500/500 = 7\text{mm}$$

Analyse linéaire
Norme : SIA 26x
Cas : Critique Min,Max
Type : (ELS Caractéristique)
E (P) : 1.35E-8
E (W) : 1.35E-8
E (Eq) : 2.56E-10
Comp. : eY [mm]
Parties : (2)
Poteaux/HE 300 A
Poutres/HE 240 B

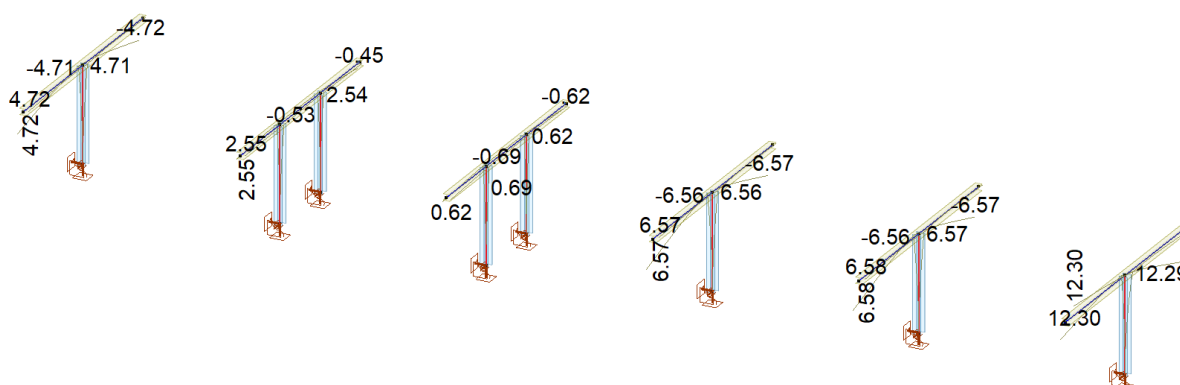
Kombination [Eigengewicht+Dachkonstruktion+Mast Ständige Lasten] + {Wind} + (0.87\*Schnee)



$$u_{max} = 12.30\text{mm} \geq u_{lim} = 7\text{mm}$$

Forme
HE 240 B
HE 300 A

*Nicht massgebend  
Keine Anforderung gemäss Norm*



ELS kritische Min, Max Werte Gebrauch **Selten** eZ [mm]

$$w_{lim} \leq l/500 = 8600/500 = 17.2\text{mm}$$



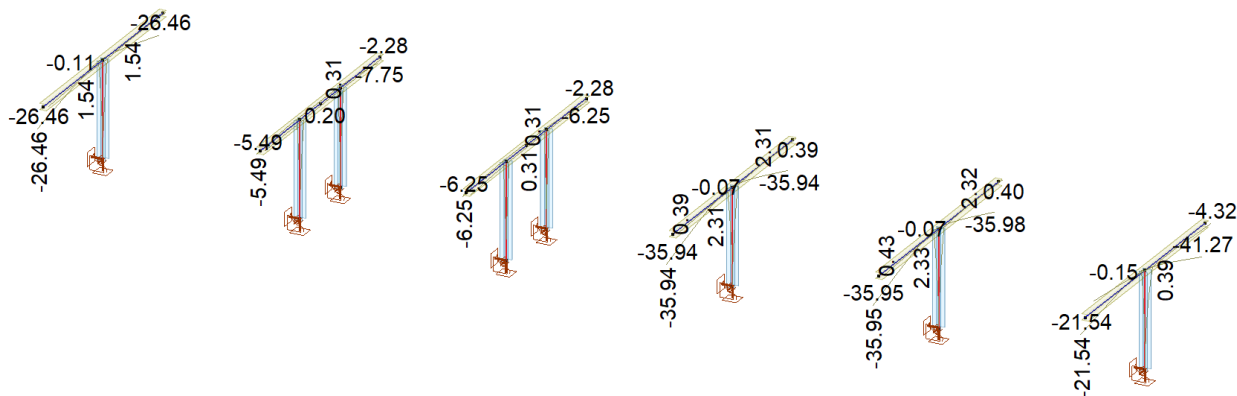
$$w_{max} = 41.27\text{mm} \geq w_{lim} = 17.2\text{mm}$$



Analyse linéaire
Norme : SIA 26x
Cas : Critique Min,Max
Type : (ELS Caractéristique)
E (P) : 1.35E-8
E (W) : 1.35E-8
E (Eq) : 2.56E-10
Comp. : eZ [mm]
Parties : (2)
Poutres/HE 300 A
Poutres/HE 240 B

Kombination [Eigengewicht+Dachkonstruktion+Mast Ständige Lasten] + {Wind} + (0.87\*Schnee)

*Nicht massgebend  
Keine Anforderung gemäss Norm*



ELS Kritische Min, Max Werte Gebrauch **Häufig** eX [mm]

$$u_{lim} \leq H/300 = 3500/300 = 11.6\text{mm}$$

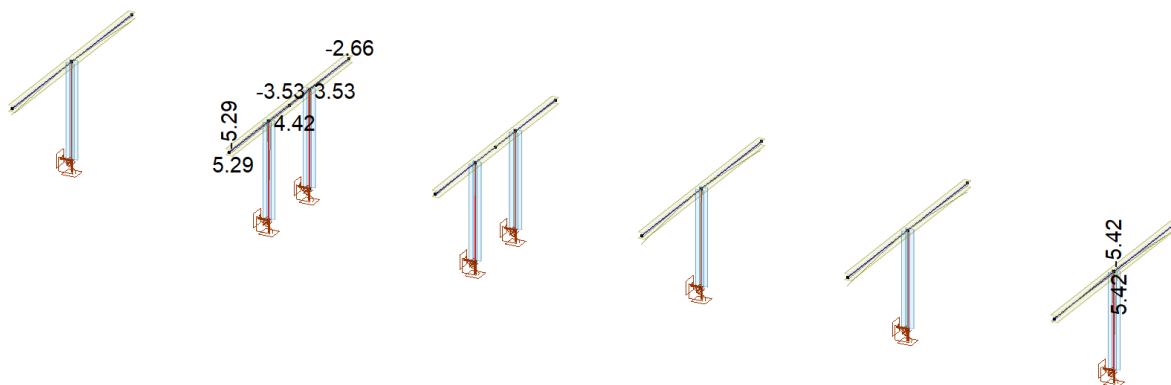


$$u_{max} = 5.42\text{mm} \leq u_{lim} = 11.6\text{mm}$$



Analyse linéaire
Norme : SIA 26x
Cas : Critique Min,Max
Type : (ELS Fréquent)
E (P) : 4.60E-12
E (W) : 4.60E-12
E (Eq) : 1.33E-12
Comp. : eX [mm]
Parties : (2)
Poutres/HE 300 A
Poutres

Kombination [Eigengewicht+Dachkonstruktion+Mast Ständige Lasten] + {0.5\*Wind}





## ELS kritische Min, Max Werte Gebrauch Häufig eY [mm]

$$U_{lim} \leq H/300 = 3500/300 = 11.6\text{mm}$$

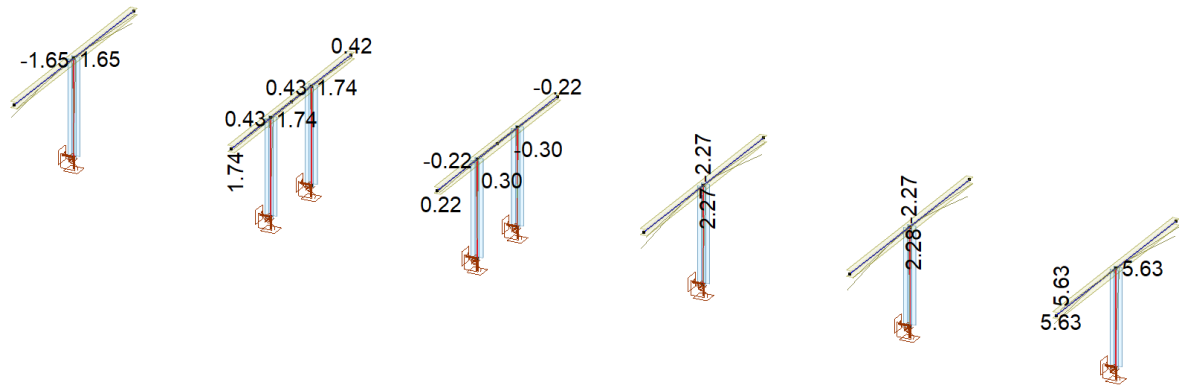


$$U_{max} = 5.63\text{mm} \leq U_{lim} = 11.6\text{mm}$$

Analyse linéaire
Norme : SIA 26x
Cas : Critique Min/Max
Type : (ELS Fréquent)
E (P) : 1.35E-8
E (W) : 1.35E-8
E (Eq) : 2.56E-10
Comp. : eY [mm]
Parties : (2)
Poutres/HE 300 A
Poutres/HE 240 B

Kombination [Eigengewicht+Dachkonstruktion+Mast Ständige Lasten] + {0.5\*Wind}

Forme
HE 240 B
HE 300 A



## ELS kritische Min, Max Werte Gebrauch Häufig eZ [mm]

$$W_{lim} \leq I/350 = 8600/350 = 24.5\text{mm}$$

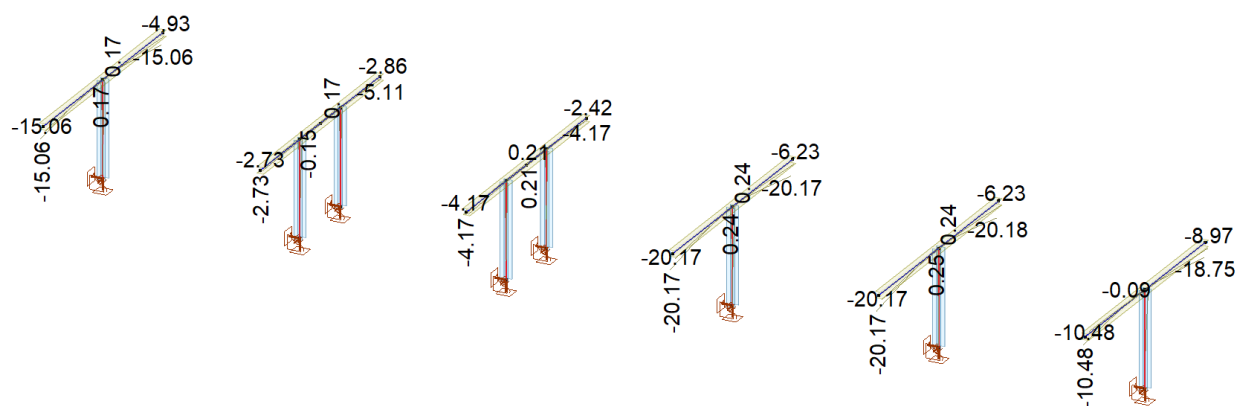


$$W_{max} = 20.18\text{mm} \geq W_{lim} = 24.5\text{mm}$$

Analyse linéaire
Norme : SIA 26x
Cas : Critique Min/Max
Type : (ELS Fréquent)
E (P) : 1.35E-8
E (W) : 1.35E-8
E (Eq) : 2.56E-10
Comp. : eZ [mm]
Parties : (2)
Poutres/HE 300 A
Poutres/HE 240 B

Kombination [Eigengewicht+Dachkonstruktion+Mast Ständige Lasten] + {0.457\*Schnee}

Forme
HE 240 B
HE 300 A



## ELS Kritische Min, Max Werte Gebrauch **Q-S** eX [mm]

$$U_{lim} \leq h/250 = 3500/250 = 14\text{mm}$$

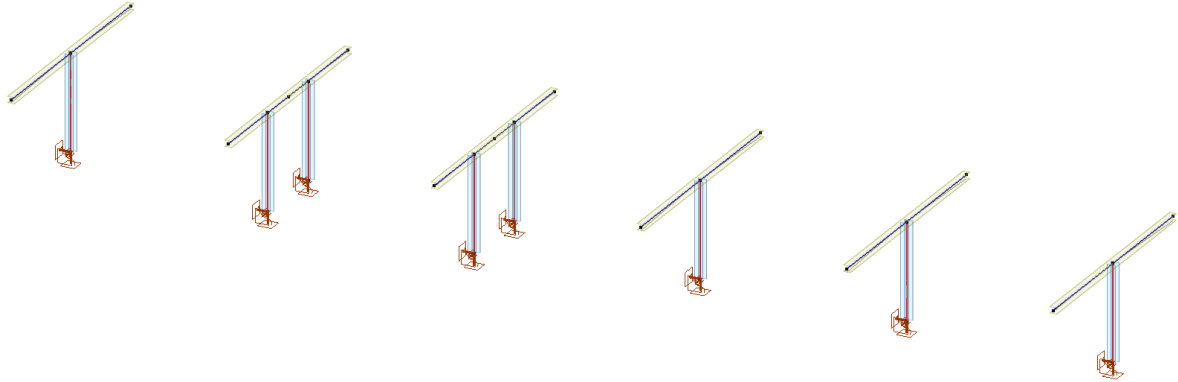
Analyse linéaire
Norme : SIA 26x
Cas : Critique Min,Max
Type : (ELS Quasi-permanent)
E (P) : 6.97E-9
E (W) : 6.97E-9
E (Eq) : 2.56E-10
Comp. : eX [mm]
Parties : (2)
Poutres/HE 300 A
Poutres/HE 240 B

Kombination [Eigengewicht+Dachkonstruktion+Mast Ständige Lasten]



$$U_{max} = 0.00\text{mm} \leq U_{lim} = 14\text{mm}$$

Forme
HE 240 B
HE 300 A



## ELS kritische Min, Max Werte Gebrauch **Q-S** eY [mm]

$$U_{lim} \leq h/250 = 3500/250 = 14\text{mm}$$

Analyse linéaire
Norme : SIA 26x
Cas : Critique Min,Max
Type : (ELS Quasi-permanent)
E (P) : 6.97E-9
E (W) : 6.97E-9
E (Eq) : 2.56E-10
Comp. : eY [mm]
Parties : (2)
Poutres/HE 300 A
Poutres/HE 240 B

Kombination [Eigengewicht+Dachkonstruktion+Mast Ständige Lasten]

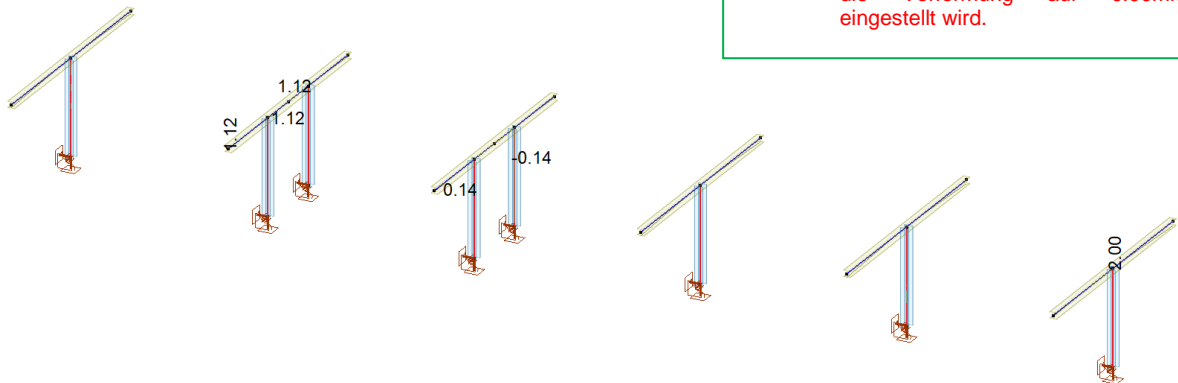


$$U_{max} = 2.00\text{mm} \leq U_{lim} = 14\text{mm}$$

Forme
HE 240 B
HE 300 A

Für diese Verformung :

⇒ Ein Anschluss zwischen Mast und Träger mit einstellung haben damit die Verformung auf 0.00mm eingestellt wird.



ELS kritische Min, Max Werte Gebrauch **Q-S** eZ [mm]

$$w_{lim} \leq l/300 = 8600/300 = 28.7\text{mm}$$

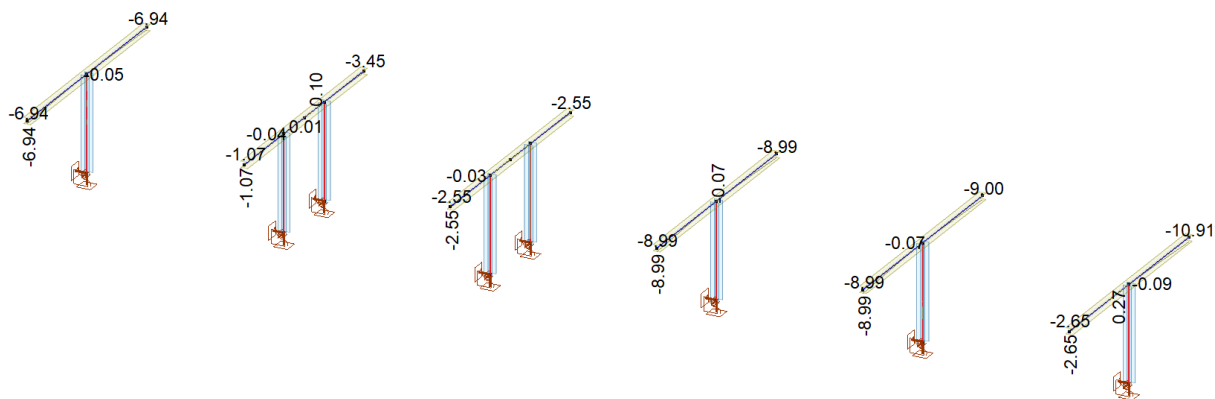


$$w_{max} = 10.91\text{mm} \leq w_{lim} = 28.7\text{mm}$$

Analyse linéaire	
Norme	SIA 26x
Cas	Critique Min,Max
Type	(ELS Quasi-permanent)
E (P)	6.97E-9
E (W)	6.97E-9
E (Eq)	2.56E-10
Comp.	eZ [mm]
Parties	(2)
Poutres/HE	300 A
Poutres/HE	240 B

Kombination [Eigengewicht+Dachkonstruktion+Mast Ständige Lasten]

Forme	
HE 240 B	Blue
HE 300 A	Red

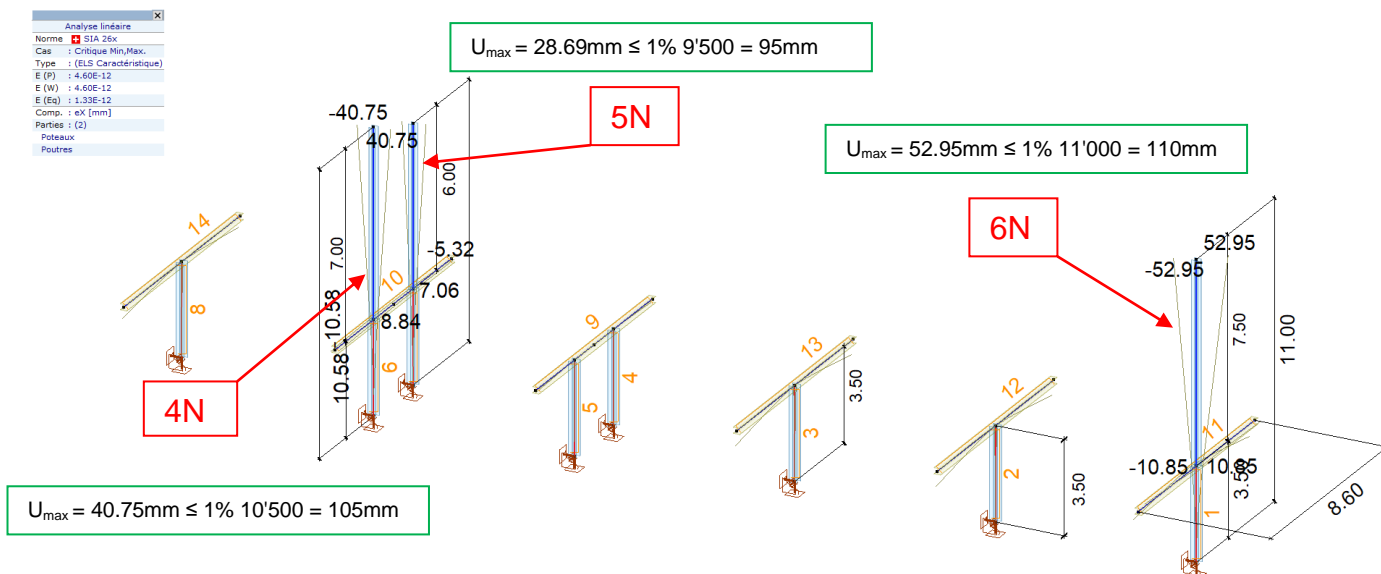


### 3.7 Resultate für Gebrauchstauglichkeit ELS – Masten

ELS Kritische Min, Max Werte Gebrauch **Selten** eX [mm]

$$U_{lim} \leq 1\% H_{tot} \quad \checkmark$$

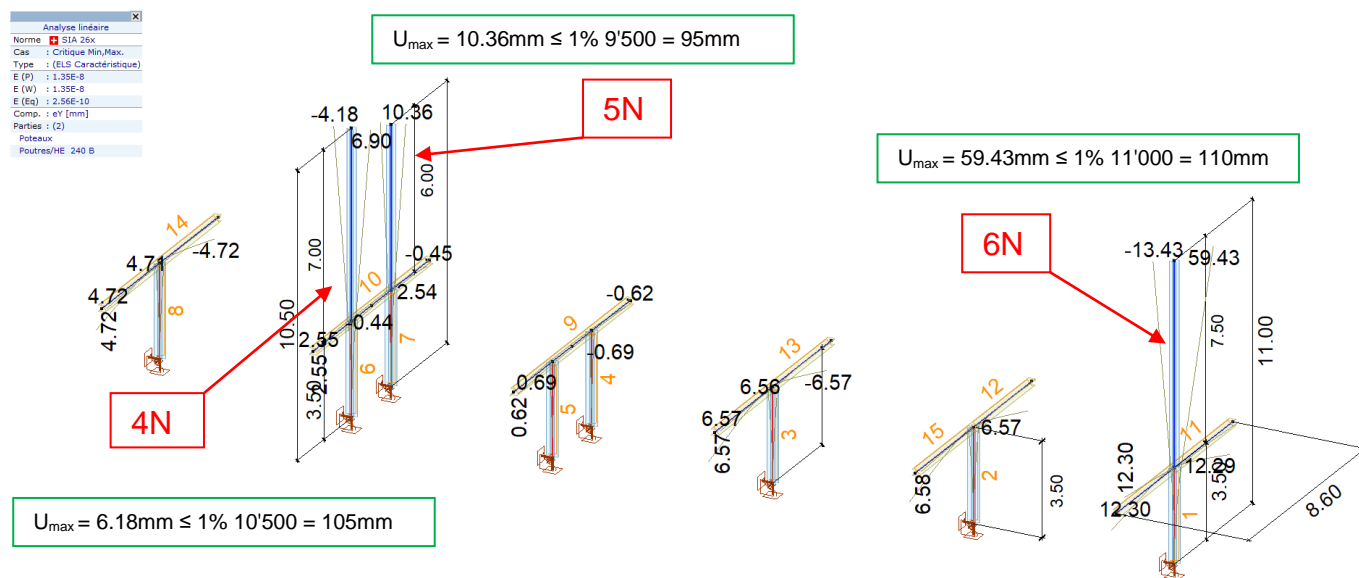
Kombination [Eigengewicht+Dachkonstruktion+Mast Ständige Lasten] + {Wind}



ELS kritische Min, Max Werte Gebrauch **Selten** eY [mm]

$$U_{lim} \leq 1\% H_{tot} \quad \checkmark$$

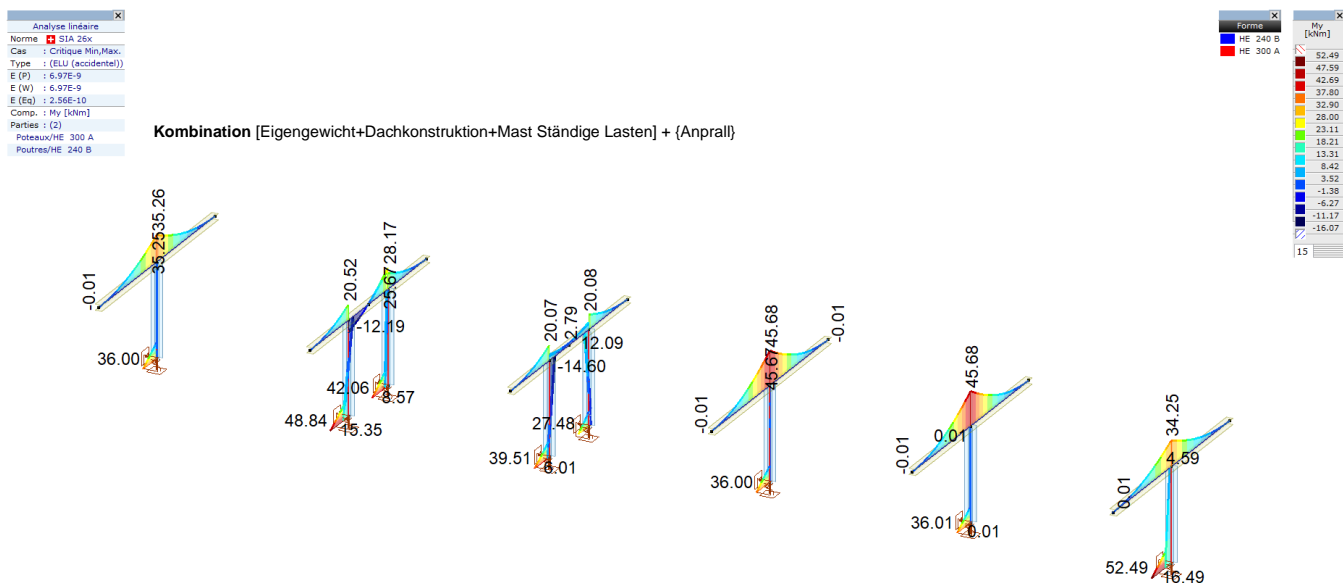
Kombination [Eigengewicht+Dachkonstruktion+Mast Ständige Lasten] + {Wind} + (0.87\*Schnee)



### 3.8 Resultate für Aussergewöhnliche Bemessungssituationen - Anprall

Kritische Min, Max Werte My [kNm]

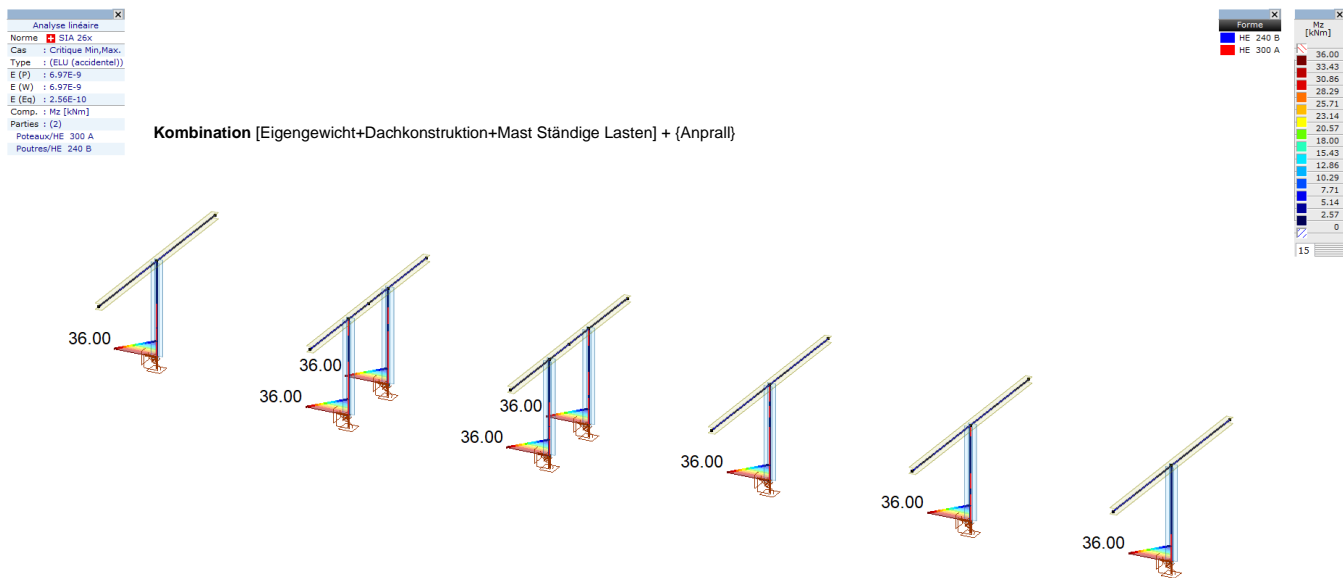
Nicht massgebend



Kritische Min, Max Werte Mz [kNm]

$$M_{zRd} = (W_{plz} * f_y) / \gamma_{M1}$$

Stütze:  $M_{zRd}$  HEA 300 S235 = 143.5 kNm



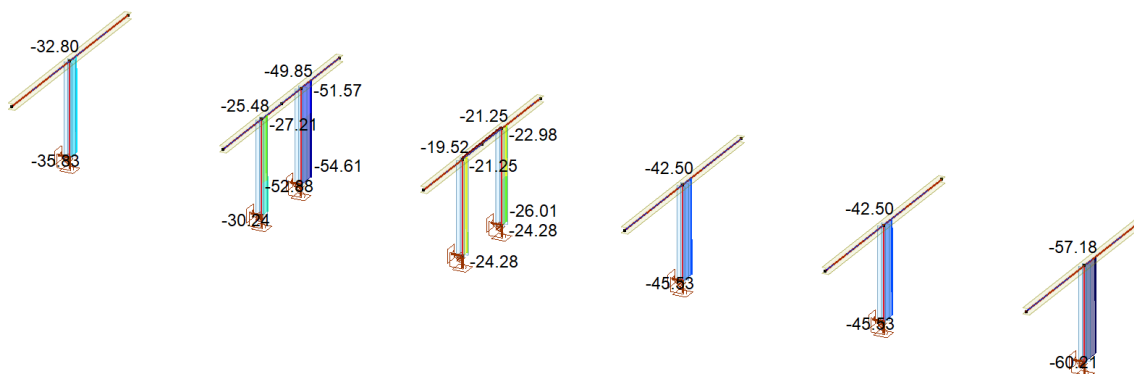
## Kritische Min, Max Werte Nx [kN]

Nicht massgebend

Analyse linéaire
Norme : SIA 26x
Cas : Critique Min,Max
Type : (ELU (accidentel))
E (P) : 6.97E-9
E (W) : 6.97E-9
E (Eq) : 2.56E-10
Comp. : Nx [kN]
Parties : (2)
Poteaux/HE 300 A
Poutres/HE 240 B

Kombination [Eigengewicht+Dachkonstruktion+Mast Ständige Lasten] + {Anprall}

Forme
HE 240 B
HE 300 A
Nx [kN]
5.17
0.90
-4.17
-8.84
-13.51
-18.18
-22.85
-27.52
-32.19
-36.86
-41.53
-46.20
-50.87
-55.54
-60.21
15



$$V_{yRd} = 2 \cdot t_f \cdot b \cdot (f_y / \sqrt{3}) \cdot (1 / \gamma_{M1})$$

## Kritische Min, Max Werte Vy [kN]

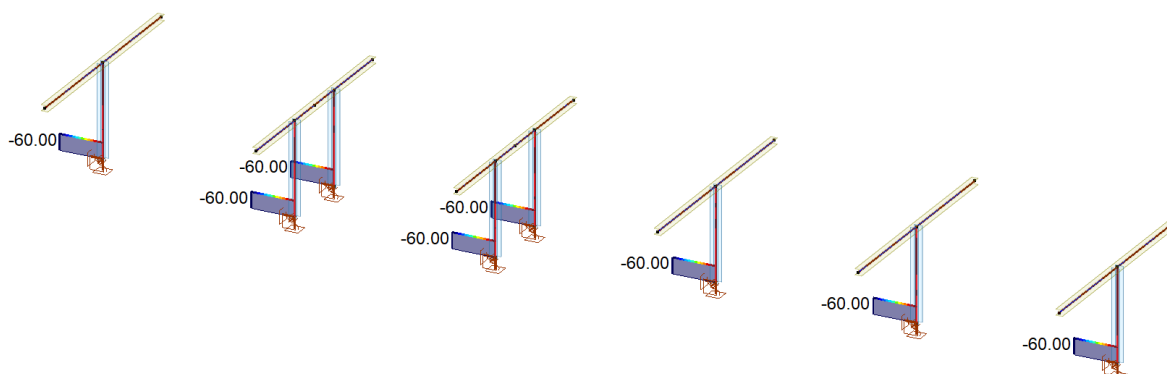
Stütze:  $V_{yRd}$  HEA 300 S235 = 1085 kN



Analyse linéaire
Norme : SIA 26x
Cas : Critique Min,Max
Type : (ELU (accidentel))
E (P) : 6.97E-9
E (W) : 6.97E-9
E (Eq) : 2.56E-10
Comp. : Vy [kN]
Parties : (2)
Poteaux/HE 300 A
Poutres/HE 240 B

Kombination [Eigengewicht+Dachkonstruktion+Mast Ständige Lasten] + {Anprall}

Forme
HE 240 B
HE 300 A
Vy [kN]
0
-4.29
-8.57
-12.86
-17.14
-21.43
-25.71
-30.00
-34.29
-38.57
-42.86
-47.14
-51.43
-55.71
-60.00
15



$V_{zRd} = A_v \cdot (f_y / \sqrt{3}) \cdot (1 / \gamma_{M1})$

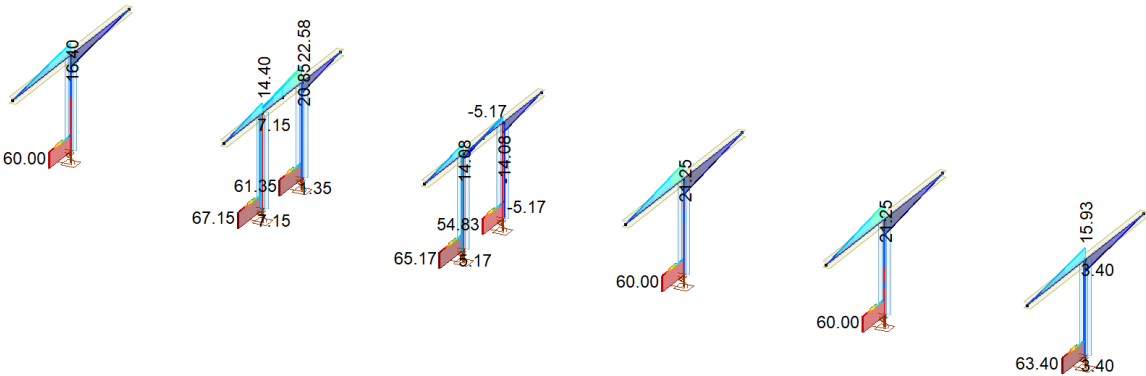
Kritische Min, Max Werte Vz [kN]

Stütze: VzRd HEA 300 S235 = 482 kN ✓

Analyse linéaire
Norme : SIA 26x
Cas : Critique Min/Max
Type : (ELU) (accidentel)
E (P) : 6.97E-9
E (W) : 6.97E-9
E (Es) : 2.56E-10
Comp : Vz [kN]
Parties : (2)
Poutres/HE 300 A
Poutres/HE 240 B

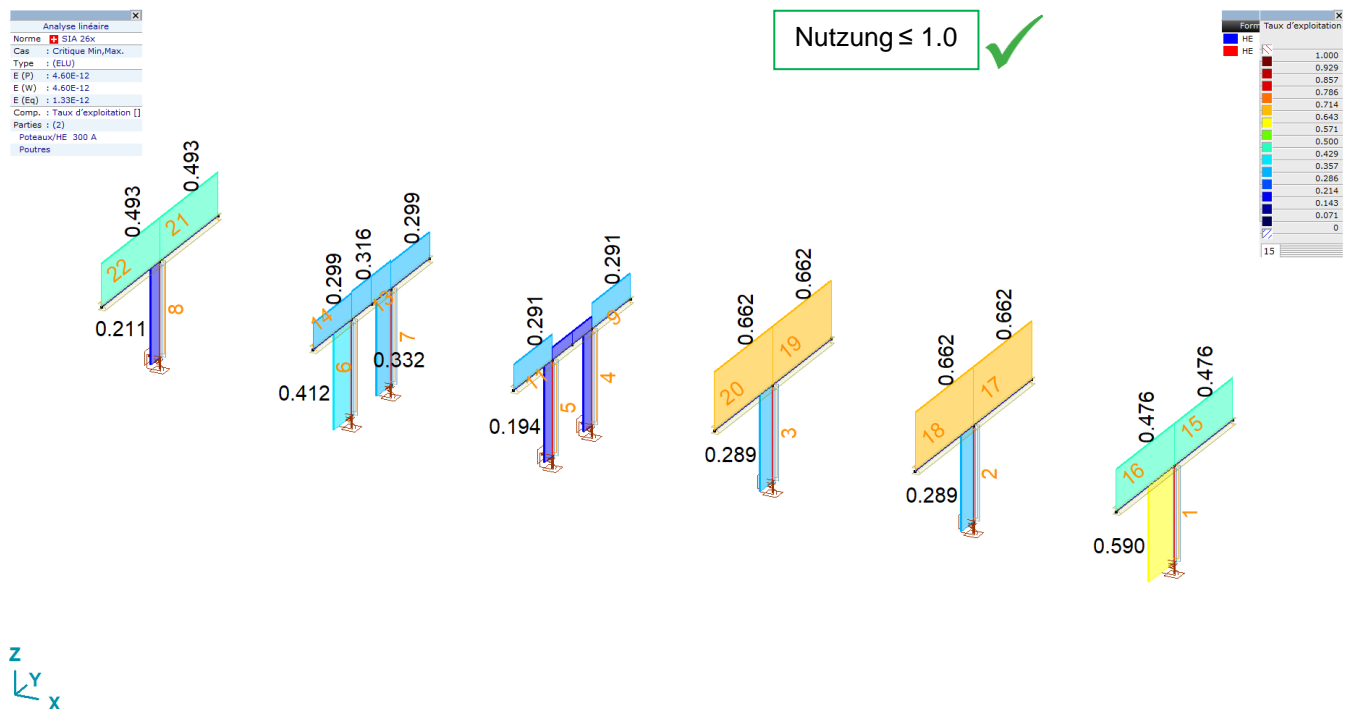
Kombination [Eigengewicht+Dachkonstruktion+Mast Ständige Lasten] + {Anprall}

Forme	Vz [kN]
HE 240 B	67.15
HE 300 A	60.84
	54.52
	48.21
	41.90
	35.58
	29.27
	22.95
	16.64
	10.32
	4.01
	-2.30
	-8.62
	-14.93
	-21.25
	15

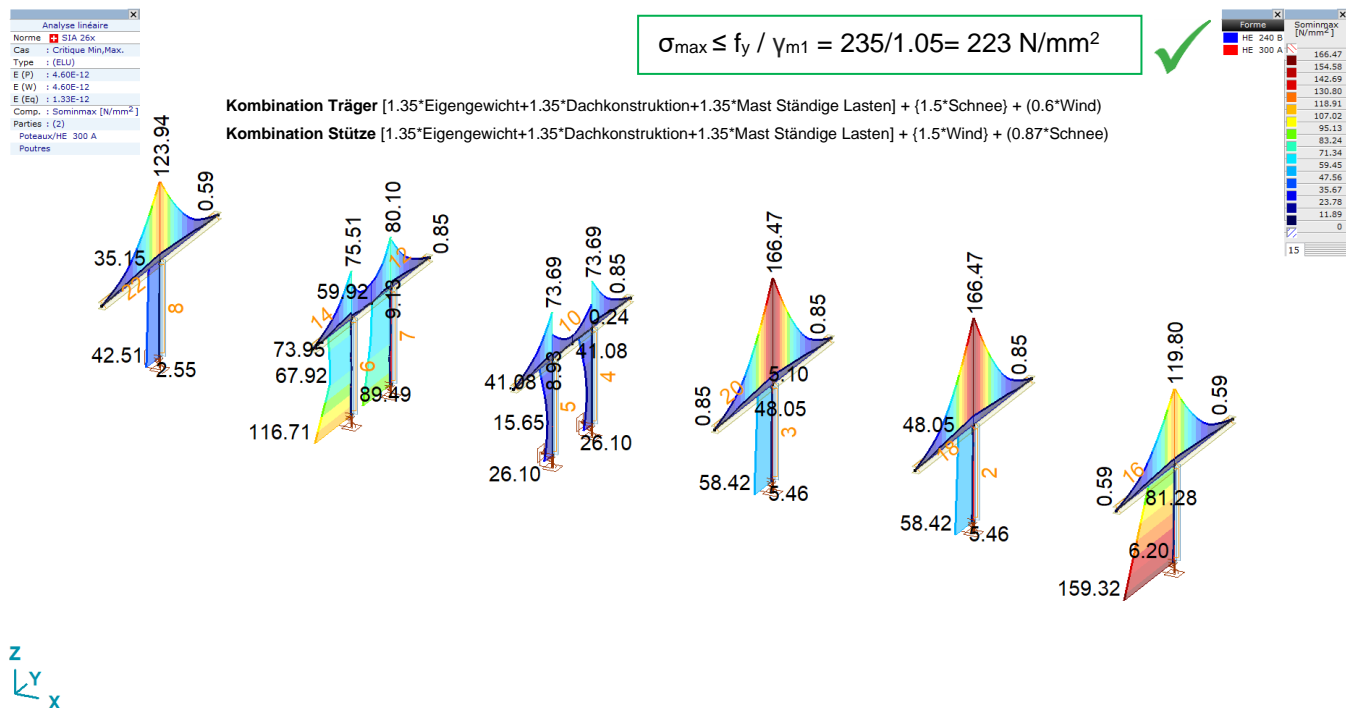


### 3.9 Stahlbemessung, Tragsicherheitsnachweise

Nutzung der Stahlprofile ELU type 2



Von Mises Vergleichsspannung





### 3.10 Nachweis für Stahl Stützen HEA 300 S235

#### STAHLSTAB-NACHWEIS

Bemessungs-Bauteil: **1**

Knoten: **8-16**

Norm: **SIA 26x (Schweiz)**

SN 505263:2013 de, SN EN 1993-1-1, SN EN 1993-1-5

Material: **S 235**

Querschnitt: **HE 300 A**

Lastfall: **Linear,(ULS) Maßgebende**

Koeffizient für seismische Kräfte: **1.0**

#### 1. Normalkraft-Biegung-Schub

SIA 263: 5.1.7, 5.2.7, 5.3.7

Grenzwertkombination: **[1.35\*Mast Ständige Lasten+1.35\*Dachkonstruktion+1.35\*EG] {1.5\*Wind\_1 +1.5\*Wind Quer\_1} (0.87\*Schnee asymmetrisch\_1)**

Querschnittsklasse: **1** (Plastische Bemessung)

Massgebender Schnitt:  $x = 1.00 \cdot L = 1.00 \cdot 350.00 = 350.00$  cm

$$N_{Ed_{13}} = -107.78 \text{ kN} \quad V_{z,Ed_{13}} = 20.34 \text{ kN} \quad M_{y,Ed_{13}} = 12789.24 \text{ kNm} = 127.89 \text{ kNm}$$

$$\eta_{NMV_{pl}} = \eta_{MN} = 41.3 \% \quad \text{erfüllt}$$

#### 2. Normalkraft-Biegung (Stabilität)

SIA 263: 5.1.9-10, 5.2.6, 5.3.5

Grenzwertkombination: **[1.35\*Mast Ständige Lasten+1.35\*Dachkonstruktion+1.35\*EG] {1.5\*Wind\_1 +1.5\*Wind Längs\_1} (0.87\*Schnee asymmetrisch\_1)**

Querschnittsklasse: **1** (Plastische Bemessung)

Massgebender Schnitt:  $x = 1.00 \cdot L = 1.00 \cdot 350.00 = 350.00$  cm

$$\Omega_y = 1 \quad \Omega_z = 1$$

$$k_{N_y} = \left| \frac{\Omega_y}{1 - |N_{Ed_{13}}|/N_{cr,y}} \right| = \left| \frac{1}{1 - |(-107.78)|/7726.96} \right| = 1.01$$

$$k_{N_z} = \left| \frac{\Omega_z}{1 - |N_{Ed_{13}}|/N_{cr,z}} \right| = \left| \frac{1}{1 - |(-107.78)|/2668.87} \right| = 1.04$$

$$\eta_{MNSTab} = \frac{|N_{Ed_{13}}|}{N_{K,Rd}} + k_{N_y} \cdot \frac{|M_{y,Ed_{13}}|}{M_{D,Rd}} + k_{N_z} \cdot \frac{|M_{z,Ed_{13}}|}{M_{Rd,z}} = \frac{|(-107.78)|}{1366.71} + 1.01 \cdot \frac{|6331.74|}{30958.93} + 1.04 \cdot \frac{|4185.00|}{14349.90} = 59.0 \%$$

(50) **erfüllt**

#### 3. Von Mises Vergleichsspannung

SIA 263: 4.3.5.4

Grenzwertkombination: **[1.35\*Mast Ständige Lasten+1.35\*Dachkonstruktion+1.35\*EG] {1.5\*Wind\_1**

#### +1.5\*Wind Quer\_1} (0.87\*Schnee asymmetrisch\_1)

Querschnittsklasse: 1 (Plastische Bemessung)

Massgebender Schnitt:  $x = 1.00 \cdot L = 1.00 \cdot 350.00 = 350.00$  cm

$$\sigma_{N,Ed} = \frac{N_{Ed,13}}{A_{net}} = \frac{(-107.78)}{112.56} = -0.96 \text{ kN/cm}^2 = -9.58 \text{ N/mm}^2$$

$$\sigma_{My,b,Ed} = \frac{-M_{y,Ed,13}}{I_y} \cdot z_c = \frac{-12789.24}{18267.78} \cdot 14.50 = -10.15 \text{ kN/cm}^2 = -101.51 \text{ N/mm}^2$$

$$\sigma_{Mz,b,Ed} = \frac{M_{z,Ed,13}}{I_z} \cdot \frac{b_2}{2} = \frac{0}{6309.64} \cdot \frac{30.00}{2} = 0 \text{ kN/cm}^2 = 0 \text{ N/mm}^2$$

$$\tau_{T,xy,b,Ed} = \frac{M_{x,Ed,13}}{I_t} \cdot t_{f,2} = \frac{0}{85.32} \cdot 1.40 = 0 \text{ kN/cm}^2 = 0 \text{ N/mm}^2$$

$$\sigma_{VonMises} = \sqrt{(\sigma_{N,Ed} + \sigma_{My,b,Ed} + \sigma_{Mz,b,Ed})^2 + 3 \cdot \tau_{T,xy,b,Ed}^2} = \sqrt{((-0.96) + (-10.15) + 0)^2 + 3 \cdot 0^2} = 11.11 \text{ kN/cm}^2$$

$$= 111.09 \text{ N/mm}^2$$

$$\eta_{VonMises} = \frac{\sigma_{VonMises}}{\frac{f_y}{\gamma_{M1}}} = \frac{11.11}{\frac{23.50}{1.05}} = 49.6 \% \quad (6) \quad \text{erfüllt}$$

#### 4. Querschnittswiderstand für Schub (y):

SIA 263: 5.1.4, 5.2.4, 5.3.4

Grenzwertkombination: [1.35\***Mast Ständige Lasten**+1.35\***Dachkonstruktion**+1.35\***EG**] {1.5\***Wind\_1**

+1.5\***Wind Längs\_1**} (0.87\***Schnee UD**)

Querschnittsklasse: 1 (Plastische Bemessung)

Massgebender Schnitt:  $x = 0.00 \cdot L = 0.00 \cdot 350.00 = 0$  cm

$$A_{V,y} = 2 \cdot b \cdot t_f = 84.00 \text{ cm}^2$$

$$V_{Rd,y} = \frac{A_{V,y} \cdot f_y}{\sqrt{3} \cdot \gamma_{M1}} = \frac{84.00 \cdot 23.50}{\sqrt{3} \cdot 1.05} = 1085.42 \text{ kN} \quad (41)$$

$$\eta_{V_y} = \frac{|V_{y,Ed,1}|}{V_{Rd,y}} = \frac{|(-5.70)|}{1085.42} = 0.5 \% \quad \text{erfüllt}$$

#### 5. Schub- und Beulwiderstand:

SIA 263: 4.5.4

Grenzwertkombination: [1.35\***Mast Ständige Lasten**+1.35\***Dachkonstruktion**+1.35\***EG**] {1.5\***Wind\_1**

+1.5\***Wind Quer\_1**}

Querschnittsklasse: 1 (Plastische Bemessung)

Massgebender Schnitt:  $x = 0.00 \cdot L = 0.00 \cdot 350.00 = 0$  cm

$$h_w = h - t_f = 29.00 - 1.40 = 27.60 \text{ cm}$$

$$c_w = \frac{h_w}{t_w} = \frac{27.60}{0.85} = 32.47 \leq \zeta_w = \sqrt{\frac{4 \cdot E}{f_y}} = \sqrt{\frac{4 \cdot 21000.00}{23.50}} = 59.79 \quad 5.1.4 (42)$$

$$\rightarrow V_{z,Rd,2} = V_{Rd,z} = 482.07 \text{ kN} \quad (13)$$

$$\eta_{V_{z,2}} = \frac{|V_{z,Ed,1}|}{V_{z,Rd,2}} = \frac{|20.34|}{482.07} = 4.2 \% \quad \text{erfüllt}$$

## Teil-Resultate

### 7. Querschnittswiderstand für Normalkraft:

SIA 263: 5.1.2, 5.2.2, 5.3.2

Grenzwertkombination: [1.35\***Mast Ständige Lasten**+1.35\***Dachkonstruktion**  
 +1.35\***EG**] {1.5\***Schnee UD**} (0.6\***Wind\_1**+0.6\***Wind Längs\_1**)

Querschnittsklasse: 1 (Plastische Bemessung)

Massgebender Schnitt:  $x = 1.00 \cdot L = 1.00 \cdot 350.00 = 350.00 \text{ cm}$

$$N_{Rd} = \frac{A \cdot f_y}{\gamma_{M1}} = \frac{112.56 \cdot 23.50}{1.05} = 2519.13 \text{ kN} \quad (38)$$

$$\eta_N = \frac{|N_{Ed,13}|}{N_{Rd}} = \frac{|(-142.23)|}{2519.13} = 5.6 \% \quad \text{erfüllt}$$

### 8. Querschnittswiderstand für Biegung (yy):

SIA 263: 5.1.3, 5.2.3, 5.3.3

Grenzwertkombination: [1.35\***Mast Ständige Lasten**+1.35\***Dachkonstruktion**+1.35\***EG**] {1.5\***Wind\_1**  
 +1.5\***Wind Quer\_1**} (0.87\***Schnee asymmetrisch\_1**)

Querschnittsklasse: 1 (Plastische Bemessung)

Massgebender Schnitt:  $x = 0.00 \cdot L = 0.00 \cdot 350.00 = 0 \text{ cm}$

$$M_{Rd,y} = \frac{W_{ply} \cdot f_y}{\gamma_{M1}} = \frac{1383.27 \cdot 23.50}{1.05} = 30958.93 \text{ kNcm} = 309.59 \text{ kNm} \quad (40)$$

$$\eta_{M_{y,pl}} = \frac{|M_{y,Ed,1}|}{M_{Rd,y}} = \frac{|5670.24|}{30958.93} = 18.3 \% \quad \text{erfüllt}$$

### 9. Querschnittswiderstand für Biegung (zz):

SIA 263: 5.1.3, 5.2.3, 5.3.3

Grenzwertkombination: [1.35\***Mast Ständige Lasten**+1.35\***Dachkonstruktion**+1.35\***EG**] {1.5\***Wind\_1**  
 +1.5\***Wind Längs\_1**} (0.87\***Schnee UD**)

Querschnittsklasse: 1 (Plastische Bemessung)

Massgebender Schnitt:  $x = 0.00 \cdot L = 0.00 \cdot 350.00 = 0 \text{ cm}$

$$M_{Rd,z} = \frac{W_{pl,z} \cdot f_y}{\gamma_{M1}} = \frac{641.17 \cdot 23.50}{1.05} = 14349.90 \text{ kNcm} = 143.50 \text{ kNm} \quad (40)$$

$$\eta_{M_{z,pl}} = \frac{|M_{z,Ed1}|}{M_{Rd,z}} = \frac{|2190.00|}{14349.90} = 15.3 \% \quad \text{erfüllt}$$

### 10. Querschnittswiderstand für Schub (z):

SIA 263: 5.1.4, 5.2.4, 5.3.4

Grenzwertkombination: **[1.35\*Mast Ständige Lasten+1.35\*Dachkonstruktion+1.35\*EG] {1.5\*Wind\_1 +1.5\*Wind Quer\_1}**

Querschnittsklasse: **1** (Plastische Bemessung)

Massgebender Schnitt:  $x = 0.00 \cdot L = 0.00 \cdot 350.00 = 0 \text{ cm}$

$$A_{V,z} = A - 2 \cdot b \cdot t_f + (t_w + 2 \cdot r) \cdot t_f = 37.31 \text{ cm}^2$$

$$V_{Rd,z} = \frac{A_{V,z} \cdot f_y}{\sqrt{3} \cdot \gamma_{M1}} = \frac{37.31 \cdot 23.50}{\sqrt{3} \cdot 1.05} = 482.07 \text{ kN} \quad (41)$$

$$\eta_{V_z} = \frac{|V_{z,Ed1}|}{V_{Rd,z}} = \frac{|20.34|}{482.07} = 4.2 \% \quad \text{erfüllt}$$

### 11. Biegung-Schub Interaktion

SIA 263: 5.1.5, 5.2.5, 5.3.6

Grenzwertkombination für N-M-V Festigkeitsinteraktion: **[1.35\*Mast Ständige Lasten+1.35\*Dachkonstruktion+1.35\*EG] {1.5\*Wind\_1 +1.5\*Wind Quer\_1} (0.87\*Schnee asymmetrisch\_1)**

Querschnittsklasse: **1** (Plastische Bemessung)

Massgebender Schnitt:  $x = 1.00 \cdot L = 1.00 \cdot 350.00 = 350.00 \text{ cm}$

$$V_{Rd,z} = V_{pl,Rd,z} = 482.07 \text{ kN}$$

$$V_{z,Ed13} = 20.34 \text{ kN} \leq V_{Rd,z}/2 \rightarrow \text{Der Einfluss der Quererkraft auf den Biege- und Schubwiderstand ist vernachlässigbar.}$$

$$V_{Rd,y} = V_{pl,Rd,y} = 1085.42 \text{ kN}$$

$$V_{y,Ed13} = 0 \text{ kN} \leq V_{Rd,y}/2 \rightarrow \text{Der Einfluss der Quererkraft auf den Biege- und Schubwiderstand ist vernachlässigbar.}$$

### 12. Biegung-Normalkraft Interaktion

SIA 263: 5.1.6, 5.2.6, 5.3.5

Grenzwertkombination für N-M-V Festigkeitsinteraktion: **[1.35\*Mast Ständige Lasten+1.35\*Dachkonstruktion+1.35\*EG] {1.5\*Wind\_1 +1.5\*Wind Quer\_1} (0.87\*Schnee asymmetrisch\_1)**

Querschnittsklasse: **1** (Plastische Bemessung)

Massgebender Schnitt:  $x = 1.00 \cdot L = 1.00 \cdot 350.00 = 350.00 \text{ cm}$

$$n = \left| \frac{N_{Ed13}}{N_{Rd}} \right| = \left| \frac{(-107.78)}{2519.13} \right| = 4.3 \%$$

$$M_{N,y,Rd} = \min (M_{Rd,y} \cdot \max (\chi_{MN} \cdot (1 - n/100) ; 0.01) ; M_{Rd,y}) = \\ = \min (30958.93 \cdot \max (1.1453 \cdot (1 - 4.3/100) ; 0.01) ; 30958.93) = 30958.93 \text{ kNcm} = 309.59 \text{ kNm} \quad (45)$$

$$M_{N,z,Rd} = M_{Rd,z} = 14349.90 = 14349.90 \text{ kNcm} = 143.50 \text{ kNm} \quad (47)$$

$$\eta_{MN,1} = \frac{|M_{y,Ed13}|}{M_{N,y,Rd}} = \frac{|12789.24|}{30958.93} = 41.3 \%$$

$$\eta_{MN,2} = \frac{|M_{z,Ed13}|}{M_{N,z,Rd}} = \frac{|0|}{14349.90} = 0 \%$$

$$\beta_{MN} = \max (5 \cdot n ; 1.1) \max (5 \cdot 0.04 ; 1.1) = 1$$

$$\eta_{MN,3} = \left( \frac{M_{y,Ed13}}{M_{N,y,Rd}} \right)^2 + \left( \frac{M_{z,Ed13}}{M_{N,z,Rd}} \right)^{\beta_{MN}} = \left( \frac{12789.24}{30958.93} \right)^2 + \left( \frac{0}{14349.90} \right)^1 = 17.1 \% \quad (48)$$

$$\eta_{MN} = \max (\eta_{MN,1} ; \eta_{MN,2} ; \eta_{MN,3} ; \eta_N ; \eta_{M_{y,pl}} ; \eta_{M_{z,pl}}) = \max (41.3 ; 0 ; 17.1 ; 4.3 ; 41.3 ; 0) = 41.3 \% \quad \text{erfüllt}$$

### 13. Knickwiderstand:

SIA 263: 4.5.1

Grenzwertkombination für N-M-Standsicherheit Interaktion: **[1.35\*Mast Ständige**

**Lasten+1.35\*Dachkonstruktion+1.35\*EG] {1.5\*Wind\_1**

**+1.5\*Wind Längs\_1} (0.87\*Schnee asymmetrisch\_1)**

Querschnittsklasse: **1** (Plastische Bemessung)

Massgebender Schnitt:  $x = 1.00 \cdot L = 1.00 \cdot 350.00 = 350.00 \text{ cm}$

$$K_y = 2$$

$$K_z = 2$$

$$L_{cr,y} = K_y \cdot L = 2 \cdot 350.00 = 700.00 \text{ cm}$$

$$L_{cr,z} = K_z \cdot L = 2 \cdot 350.00 = 700.00 \text{ cm}$$

Knickkurve um die y-Axe:  $b$  [Tabelle 8](#)

$$\rightarrow \alpha_y = 0.34 \quad \text{Abbildung 7}$$

Knickkurve um die z-Axe:  $c$  [Tabelle 8](#)

$$\rightarrow \alpha_z = 0.49 \quad \text{Abbildung 7}$$

$$\lambda_y^* = \sqrt{\frac{A \cdot f_y}{N_{cr,y}}} = \sqrt{\frac{112.56 \cdot 23.50}{7726.96}} = 0.59$$

$$\lambda_z^* = \sqrt{\frac{A \cdot f_y}{N_{cr,z}}} = \sqrt{\frac{112.56 \cdot 23.50}{2668.87}} = 1.00$$

$$\phi_y = \frac{1 + \alpha_y \cdot (\lambda_y^* - 0.2) + \lambda_y^{*2}}{2} = \frac{1 + 0.34 \cdot (0.59 - 0.2) + 0.59^2}{2} = 0.7366$$

$$\phi_z = \frac{1 + \alpha_z \cdot (\lambda_z^* - 0.2) + \lambda_z^{*2}}{2} = \frac{1 + 0.49 \cdot (1.00 - 0.2) + 1.00^2}{2} = 1.1905$$

$$\chi_y = \min \left( \frac{1}{\phi_y + \sqrt{\phi_y^2 - \lambda_y^{*2}}}; 1 \right) = \min \left( \frac{1}{0.7366 + \sqrt{0.7366^2 - 0.59^2}}; 1 \right) = 0.8445 \quad (6.49)$$

$$\chi_z = \min \left( \frac{1}{\phi_z + \sqrt{\phi_z^2 - \lambda_z^{*2}}}; 1 \right) = \min \left( \frac{1}{1.1905 + \sqrt{1.1905^2 - 1.00^2}}; 1 \right) = 0.5425 \quad (6.49)$$

$$\chi = \min(\chi_y; \chi_z) = \min(0.8445; 0.5425) = 0.5425 \leq 1.0 \quad (8)$$

$$N_{K,Rd} = \frac{\chi \cdot A \cdot f_y}{\gamma_{M1}} = \frac{0.5425 \cdot 112.56 \cdot 23.50}{1.05} = 1366.71 \text{ kN} \quad (7)$$

$$\eta_{N_K} = \frac{|N_{Ed13}|}{N_{K,Rd}} = \frac{|(-107.78)|}{1366.71} = 7.9 \% \quad \text{erfüllt}$$

#### 14. Biegedrillknickwiderstand:

SIA 263: 4.5.2

Grenzwertkombination für N-M-Standsicherheit Interaktion: [1.35\*Mast Ständige

Lasten+1.35\*Dachkonstruktion+1.35\*EG] {1.5\*Wind\_1

+1.5\*Wind Längs\_1} (0.87\*Schnee asymmetrisch\_1)

Querschnittsklasse: 1 (Plastische Bemessung)

Massgebender Schnitt:  $x = 1.00 \cdot L = 1.00 \cdot 350.00 = 350.00 \text{ cm}$

$M_{cr}$  Berechnungsmethode: AutoMcr

$M_{cr} = 237806.24 \text{ kNcm} = 2378.06 \text{ kNm}$

$$\lambda_D = \sqrt{\frac{W_y \cdot f_y}{M_{cr}}} = \sqrt{\frac{1383.27 \cdot 23.50}{237806.24}} = 0.37$$

Knickkurve:  $b \rightarrow \alpha_D = 0.34$  Tabelle 8

$$\phi_D = \frac{1 + \alpha_D \cdot (\lambda_D - \lambda_{D,0}) + \beta \cdot \lambda_D^2}{2} = \frac{1 + 0.34 \cdot (0.37 - 0.4) + 0.75 \cdot 0.37^2}{2} = 0.55$$

$$\chi_D = \min \left( \frac{1}{\phi_D + \sqrt{\phi_D^2 - \beta \cdot \lambda_D^2}}; 1 \right) = \min \left( \frac{1}{0.55 + \sqrt{0.55^2 - 0.75 \cdot 0.37^2}}; 1 \right) = 1.00 \text{ SN EN 1993-1-1 (6.57)}$$

$$M_{D,Rd} = \frac{\chi_D \cdot W_y \cdot f_y}{\gamma_{M1}} = \frac{1.00 \cdot 1383.27 \cdot 23.50}{1.05} = 30958.93 \text{ kNcm} = 309.59 \text{ kNm} \quad (9)$$

$$\eta_{M_D} = \frac{|M_{y,Ed_{13}}|}{M_{D,Rd}} = \frac{|6331.74|}{30958.93} = 20.5 \% \quad \text{erfüllt}$$

### 3.11 Nachweis für Stahl Träger HEB 240 S235

#### STAHLSTAB-NACHWEIS

Bemessungs-Bauteil: 22

Knoten: 15-27

Norm: SIA 26x (Schweiz)

SN 505263:2013 de, SN EN 1993-1-1, SN EN 1993-1-5

Material: S 235

Querschnitt: HE 240 B

Lastfall: Linear,(ULS) Maßgebende

Koeffizient für seismische Kräfte: 1.0

#### 1. Normalkraft-Biegung-Schub

SIA 263: 5.1.7, 5.2.7, 5.3.7

Grenzwertkombination: [1.35\*Mast Ständige Lasten+1.35\*Dachkonstruktion  
 +1.35\*EG] {1.5\*Schnee asymetrisch\_2}

Querschnittsklasse: 1 (Plastische Bemessung)

Massgebender Schnitt:  $x = 1.00 \cdot L = 1.00 \cdot 430.00 = 430.00$  cm

$N_{Ed_{11}} = 0$  kN  $V_{z,Ed_{11}} = 72.22$  kN  $M_{y,Ed_{11}} = 15527.69$  kNcm = 155.28 kNm

$\eta_{NMV_{pl}} = \eta_{MN} = 65.9$  % erfüllt

#### 2. Normalkraft-Biegung (Stabilität)

SIA 263: 5.1.9-10, 5.2.6, 5.3.5

Grenzwertkombination: [1.35\*Mast Ständige Lasten+1.35\*Dachkonstruktion  
 +1.35\*EG] {1.5\*Schnee UD} (0.6\*Wind\_1+0.6\*Wind Längs\_1)

Querschnittsklasse: 1 (Plastische Bemessung)

Massgebender Schnitt:  $x = 1.00 \cdot L = 1.00 \cdot 430.00 = 430.00$  cm

$\Omega_y = 1$   $\Omega_z = 1$

$$k_{N_y} = \left| \frac{\Omega_y}{1 - |N_{Ed_{11}}|/N_{cr,y}} \right| = \left| \frac{1}{1 - |(-3.60)|/3155.70} \right| = 1.00$$

$$\eta_{MNStab} = \frac{|N_{Ed_{11}}|}{N_{K,Rd}} + k_{N_y} \cdot \frac{|M_{y,Ed_{11}}|}{M_{D,Rd}} = \frac{|(-3.60)|}{1586.18} + 1.00 \cdot \frac{|15527.69|}{23570.40} = 66.2$$
 % (49) erfüllt

#### 3. Von Mises Vergleichsspannung

SIA 263: 4.3.5.4

Grenzwertkombination: [1.35\*Mast Ständige Lasten+1.35\*Dachkonstruktion  
 +1.35\*EG] {1.5\*Schnee asymetrisch\_2}

Querschnittsklasse: 1 (Plastische Bemessung)

Massgebender Schnitt:  $x = 1.00 \cdot L = 1.00 \cdot 430.00 = 430.00$  cm



$$\sigma_{N,Ed} = \frac{N_{Ed,11}}{A_{net}} = \frac{0}{106.00} = 0 \text{ kN/cm}^2 = 0 \text{ N/mm}^2$$

$$\sigma_{My,b,Ed} = \frac{-M_{y,Ed,11}}{I_y} \cdot z_c = \frac{-15527.69}{11260.91} \cdot 12.00 = -16.55 \text{ kN/cm}^2 = -165.47 \text{ N/mm}^2$$

$$\sigma_{Mz,b,Ed} = \frac{M_{z,Ed,11}}{I_z} \cdot \frac{b_2}{2} = \frac{0}{3922.69} \cdot \frac{24.00}{2} = 0 \text{ kN/cm}^2 = 0 \text{ N/mm}^2$$

$$\tau_{T,xy,b,Ed} = \frac{M_{x,Ed,11}}{I_t} \cdot t_{f,2} = \frac{0}{105.41} \cdot 1.70 = 0 \text{ kN/cm}^2 = 0 \text{ N/mm}^2$$

$$\sigma_{VonMises} = \sqrt{(\sigma_{N,Ed} + \sigma_{My,b,Ed} + \sigma_{Mz,b,Ed})^2 + 3 \cdot \tau_{T,xy,b,Ed}^2} = \sqrt{(0 + (-16.55) + 0)^2 + 3 \cdot 0^2} = 16.55 \text{ kN/cm}^2 = 165.47 \text{ N/mm}^2$$

$$\eta_{VonMises} = \frac{\sigma_{VonMises}}{\frac{f_y}{\gamma_{M1}}} = \frac{16.55}{\frac{23.50}{1.05}} = 73.9 \% \quad (6) \quad \text{erfüllt}$$

## 5. Schub- und Beulwiderstand:

SIA 263: 4.5.4

Grenzwertkombination: [1.35\*Mast Ständige Lasten+1.35\*Dachkonstruktion  
 +1.35\*EG] {1.5\*Schnee asymmetrisch\_2}

Querschnittsklasse: 1 (Plastische Bemessung)

Massgebender Schnitt:  $x = 1.00 \cdot L = 1.00 \cdot 430.00 = 430.00 \text{ cm}$

$h_w = h - t_f = 24.00 - 1.70 = 22.30 \text{ cm}$

$$c_w = \frac{h_w}{t_w} = \frac{22.30}{1.00} = 22.3 \leq \zeta_w = \sqrt{\frac{4 \cdot E}{f_y}} = \sqrt{\frac{4 \cdot 21000.00}{23.50}} = 59.79 \quad 5.1.4 (42)$$

$$\rightarrow V_{z,Rd,2} = V_{Rd,z} = 429.56 \text{ kN} \quad (13)$$

$$\eta_{V_{z,2}} = \frac{|V_{z,Ed,11}|}{V_{z,Rd,2}} = \frac{|72.22|}{429.56} = 16.8 \% \quad \text{erfüllt}$$

## Teil-Resultate

### 7. Querschnittswiderstand für Normalkraft:

SIA 263: 5.1.2, 5.2.2, 5.3.2

Grenzwertkombination: [1.35\*Mast Ständige Lasten+1.35\*Dachkonstruktion+1.35\*EG] {1.5\*Wind\_1  
 +1.5\*Wind Längs\_1}

Querschnittsklasse: 1 (Plastische Bemessung)

Massgebender Schnitt:  $x = 0.00 \cdot L = 0.00 \cdot 430.00 = 0 \text{ cm}$

$$N_{Rd} = \frac{A \cdot f_y}{\gamma_{M1}} = \frac{106.00 \cdot 23.50}{1.05} = 2372.45 \text{ kN} \quad (38)$$

$$\eta_N = \frac{|N_{Ed1}|}{N_{Rd}} = \frac{|(-9.00)|}{2372.45} = 0.4 \% \quad \text{erfüllt}$$

### 8. Querschnittswiderstand für Biegung (yy):

SIA 263: 5.1.3, 5.2.3, 5.3.3

Grenzwertkombination: **[1.35\*Mast Ständige Lasten+1.35\*Dachkonstruktion +1.35\*EG] {1.5\*Schnee asymmetrisch\_2}**

Querschnittsklasse: **1** (Plastische Bemessung)

Massgebender Schnitt:  $x = 0.70 \cdot L = 0.70 \cdot 430.00 = 301.00 \text{ cm}$

$$M_{Rdy} = \frac{W_{ply} \cdot f_y}{\gamma_{M1}} = \frac{1053.15 \cdot 23.50}{1.05} = 23570.40 \text{ kNcm} = 235.70 \text{ kNm} \quad (40)$$

$$\eta_{M_{y,pl}} = \frac{|M_{y,Ed8}|}{M_{Rdy}} = \frac{|7608.57|}{23570.40} = 32.3 \% \quad \text{erfüllt}$$

### 9. Querschnittswiderstand für Biegung (zz):

SIA 263: 5.1.3, 5.2.3, 5.3.3

Grenzwertkombination: **[1.35\*Mast Ständige Lasten+1.35\*Dachkonstruktion+1.35\*EG] {1.5\*Wind\_1 +1.5\*Wind Längs\_1}**

Querschnittsklasse: **1** (Plastische Bemessung)

Massgebender Schnitt:  $x = 0.00 \cdot L = 0.00 \cdot 430.00 = 0 \text{ cm}$

$$M_{Rdz} = \frac{W_{pl,z} \cdot f_y}{\gamma_{M1}} = \frac{498.42 \cdot 23.50}{1.05} = 11155.08 \text{ kNcm} = 111.55 \text{ kNm} \quad (40)$$

$$\eta_{M_{z,pl}} = \frac{|M_{z,Ed1}|}{M_{Rdz}} = \frac{|0|}{11155.08} = 0 \% \quad \text{erfüllt}$$

### 10. Querschnittswiderstand für Schub (z):

SIA 263: 5.1.4, 5.2.4, 5.3.4

Grenzwertkombination: **[1.35\*Mast Ständige Lasten+1.35\*Dachkonstruktion +1.35\*EG] {1.5\*Schnee asymmetrisch\_2}**

Querschnittsklasse: **1** (Plastische Bemessung)

Massgebender Schnitt:  $x = 0.80 \cdot L = 0.80 \cdot 430.00 = 344.00 \text{ cm}$

$$A_{V,z} = A - 2 \cdot b \cdot t_f + (t_w + 2 \cdot r) \cdot t_f = 33.24 \text{ cm}^2$$

$$V_{Rd,z} = \frac{A_{V,z} \cdot f_y}{\sqrt{3} \cdot \gamma_{M1}} = \frac{33.24 \cdot 23.50}{\sqrt{3} \cdot 1.05} = 429.56 \text{ kN} \quad (41)$$

$$\eta_{V_z} = \frac{|V_{z,Ed9}|}{V_{Rd,z}} = \frac{|57.78|}{429.56} = 13.5 \% \quad \text{erfüllt}$$

## 11. Biegung-Schub Interaktion

SIA 263: 5.1.5, 5.2.5, 5.3.6

Grenzwertkombination für N-M-V Festigkeitsinteraktion: **[1.35\*Mast Ständige Lasten+1.35\*Dachkonstruktion +1.35\*EG] {1.5\*Schnee asymmetrisch\_2}**

Querschnittsklasse: **1** (Plastische Bemessung)

Massgebender Schnitt:  $x = 1.00 \cdot L = 1.00 \cdot 430.00 = 430.00 \text{ cm}$

$$V_{Rd,z} = V_{pl,Rd,z} = 429.56 \text{ kN}$$

$$V_{z,Ed11} = 72.22 \text{ kN} \leq V_{Rd,z}/2 \rightarrow \text{Der Einfluss der Quererkraft auf den Biege- und Schubwiderstand ist vernachlässigbar.}$$

$$V_{Rd,y} = V_{pl,Rd,y} = 1054.41 \text{ kN}$$

$$V_{y,Ed11} = 0 \text{ kN} \leq V_{Rd,y}/2 \rightarrow \text{Der Einfluss der Quererkraft auf den Biege- und Schubwiderstand ist vernachlässigbar.}$$

## 12. Biegung-Normalkraft Interaktion

SIA 263: 5.1.6, 5.2.6, 5.3.5

Grenzwertkombination für N-M-V Festigkeitsinteraktion: **[1.35\*Mast Ständige Lasten+1.35\*Dachkonstruktion +1.35\*EG] {1.5\*Schnee asymmetrisch\_2}**

Querschnittsklasse: **1** (Plastische Bemessung)

Massgebender Schnitt:  $x = 1.00 \cdot L = 1.00 \cdot 430.00 = 430.00 \text{ cm}$

$$n = \left| \frac{N_{Ed11}}{N_{Rd}} \right| = \left| \frac{0}{2372.45} \right| = 0 \%$$

$$M_{N,y,Rd} = \min (M_{Rd,y} \cdot \max (\chi_{MN} \cdot (1 - n/100) ; 0.01) ; M_{Rd,y}) = \\ = \min (23570.40 \cdot \max (1.1301 \cdot (1 - 0/100) ; 0.01) ; 23570.40) = 23570.40 \text{ kNcm} = 235.70 \text{ kNm} \quad (45)$$

$$M_{N,z,Rd} = M_{Rd,z} = 11155.08 = 11155.08 \text{ kNcm} = 111.55 \text{ kNm} \quad (47)$$

$$\eta_{MN,1} = \frac{|M_{y,Ed11}|}{M_{N,y,Rd}} = \frac{|15527.69|}{23570.40} = 65.9 \%$$

$$\eta_{MN,2} = \frac{|M_{z,Ed11}|}{M_{N,z,Rd}} = \frac{|0|}{11155.08} = 0 \%$$

$$\beta_{MN} = 1.1$$

$$\eta_{MN,3} = \left( \frac{M_{y,Ed_{11}}}{M_{N_y,Rd}} \right)^2 + \left( \frac{M_{z,Ed_{11}}}{M_{N_z,Rd}} \right)^{\beta_{MN}} = \left( \frac{15527.69}{23570.40} \right)^2 + \left( \frac{0}{11155.08} \right)^{1.1} = 43.4 \% \quad (48)$$

$$\eta_{MN} = \max(\eta_{MN,1}; \eta_{MN,2}; \eta_{MN,3}; \eta_N; \eta_{M_{y,pl}}; \eta_{M_{z,pl}}) = \max(65.9; 0; 43.4; 0; 65.9; 0) = 65.9 \% \quad \text{erfüllt}$$

### 13. Knickwiderstand:

SIA 263: 4.5.1

Grenzwertkombination für N-M-Standsicherheit Interaktion: **[1.35\*Mast Ständige**

**Lasten+1.35\*Dachkonstruktion**

**+1.35\*EG] {1.5\*Schnee UD} (0.6\*Wind\_1+0.6\*Wind Längs\_1)**

Querschnittsklasse: **1** (Plastische Bemessung)

Massgebender Schnitt:  $x = 1.00 \cdot L = 1.00 \cdot 430.00 = 430.00 \text{ cm}$

$$K_y = 2$$

$$K_z = 0.01$$

$$L_{cr_y} = K_y \cdot L = 2 \cdot 430.00 = 860.00 \text{ cm}$$

$$L_{cr_z} = K_z \cdot L = 0.01 \cdot 430.00 = 4.30 \text{ cm}$$

Knickkurve um die y-Axe: **b** [Tabelle 8](#)

$$\rightarrow \alpha_y = 0.34 \quad \text{Abbildung 7}$$

Knickkurve um die z-Axe: **c** [Tabelle 8](#)

$$\rightarrow \alpha_z = 0.49 \quad \text{Abbildung 7}$$

$$\lambda_y^* = \sqrt{\frac{A \cdot f_y}{N_{cr,y}}} = \sqrt{\frac{106.00 \cdot 23.50}{3155.70}} = 0.89$$

$$\lambda_z^* = \sqrt{\frac{A \cdot f_y}{N_{cr,z}}} = \sqrt{\frac{106.00 \cdot 23.50}{43971012.40}} = 0.01$$

$$\phi_y = \frac{1 + \alpha_y \cdot (\lambda_y^* - 0.2) + \lambda_y^{*2}}{2} = \frac{1 + 0.34 \cdot (0.89 - 0.2) + 0.89^2}{2} = 1.0117$$

$$\phi_z = \frac{1 + \alpha_z \cdot (\lambda_z^* - 0.2) + \lambda_z^{*2}}{2} = \frac{1 + 0.49 \cdot (0.01 - 0.2) + 0.01^2}{2} = 0.4529$$

$$\chi_y = \min \left( \frac{1}{\phi_y + \sqrt{\phi_y^2 - \lambda_y^{*2}}}; 1 \right) = \min \left( \frac{1}{1.0117 + \sqrt{1.0117^2 - 0.89^2}}; 1 \right) = 0.6686 \quad (6.49)$$

$$\chi_z = \min \left( \frac{1}{\phi_z + \sqrt{\phi_z^2 - \lambda_z^{*2}}}; 1 \right) = \min \left( \frac{1}{0.4529 + \sqrt{0.4529^2 - 0.01^2}}; 1 \right) = 1 \quad (6.49)$$

$$\chi = \min(\chi_y; \chi_z) = \min(0.6686; 1) = 0.6686 \leq 1.0 \quad (8)$$

$$N_{K,Rd} = \frac{\chi \cdot A \cdot f_y}{\gamma_{M1}} = \frac{0.6686 \cdot 106.00 \cdot 23.50}{1.05} = 1586.18 \text{ kN} \quad (7)$$

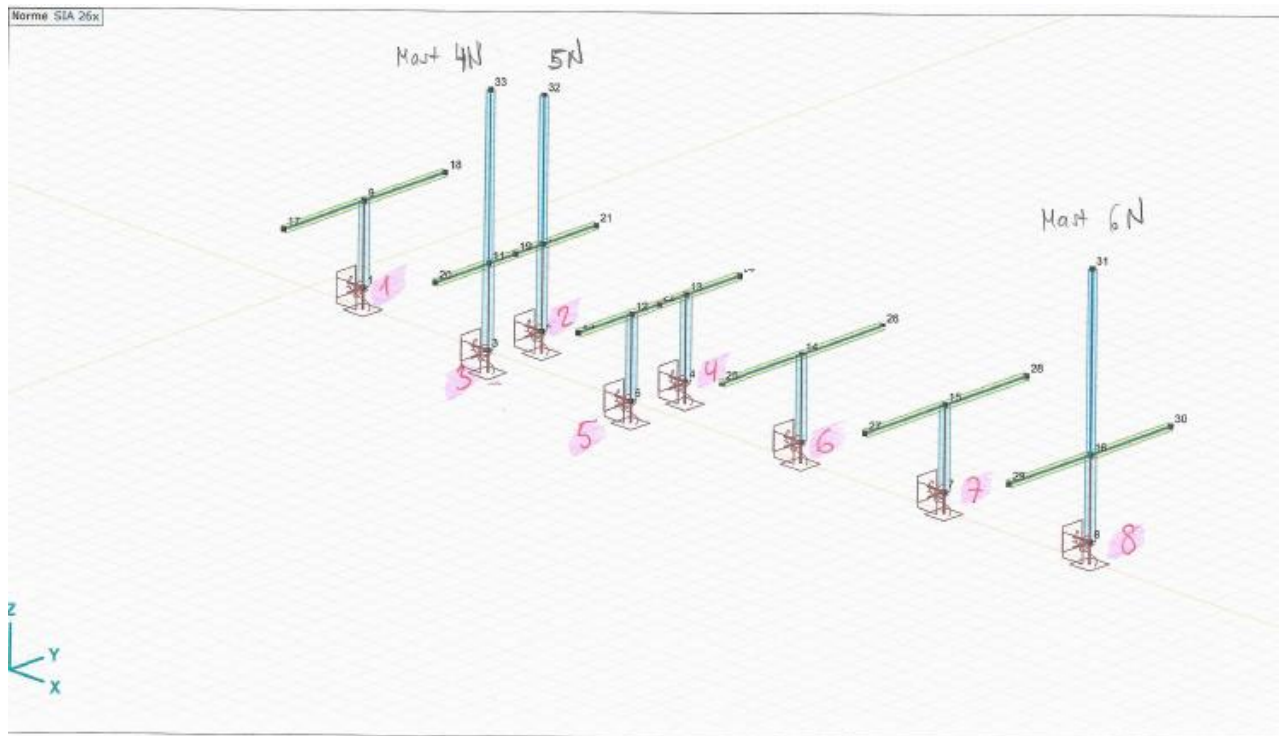
$$\eta_{N_K} = \frac{|N_{Ed11}|}{N_{K,Rd}} = \frac{|(-3.60)|}{1586.18} = 0.2 \% \quad \text{erfüllt}$$

Der Biegedrillknickwiderstand ist durch die Holz Struktur verhindert



## 4 Fundamente

### 4.1 Lastfälle



Plan mit Standort Maste und Knotennummern (noed)

## Lastfälle Tragsicherheit

	Näud	C	min. max.	Rx [kN]	Ry [kN]	Rz [kN]	Rxx [kNm]	Ryy [kNm]
1	1	Rx	mini	0	0	-48.37	0	0
1	1		maxi	0	0	-28.67	0	0
1	1	Ry	mini	0	-6.30	-48.37	22.05	0
1	1		maxi	0	6.30	-28.67	-22.05	0
1	1	Rz	mini	0	0	-111.65	0	0
1	1		maxi	0	6.30	-28.67	-22.05	0
1	1	Rxx	mini	0	2.52	-76.12	-42.83	0
1	1		maxi	0	-2.52	-93.83	42.83	0
1	1	Ryy	mini	0	0	-48.37	0	0
1	1		maxi	0	0	-28.67	0	0
2	2	Rx	mini	-4.21	6.31	-75.80	-20.89	-27.84
2	2		maxi	4.21	5.57	-46.71	-16.18	27.84
2	2	Ry	mini	0	-16.03	-47.62	26.06	0
2	2		maxi	0	11.07	-90.22	-34.01	0
2	2	Rz	mini	0	-2.64	-127.67	-13.01	0
2	2		maxi	0	-9.73	-21.71	18.73	0
2	2	Rxx	mini	0	11.07	-90.22	-34.01	0
2	2		maxi	0	-16.03	-47.62	26.06	0
2	2	Ryy	mini	-4.21	6.31	-75.80	-20.89	-27.84
2	2		maxi	4.21	5.57	-46.71	-16.18	27.84
3	3	Rx	mini	-4.79	14.17	-36.41	-30.11	-34.26
3	3		maxi	4.79	10.23	-19.78	-21.67	34.26
3	3	Ry	mini	0	-4.17	-44.79	12.20	0
3	3		maxi	0	25.01	-47.90	-50.30	0
3	3	Rz	mini	0	13.85	-97.81	-18.46	0
3	3		maxi	0	14.77	-5.36	-34.53	0
3	3	Rxx	mini	0	25.01	-47.90	-50.30	0
3	3		maxi	0	-4.17	-44.79	12.20	0
3	3	Ryy	mini	-4.79	14.17	-36.41	-30.11	-34.26
3	3		maxi	4.79	10.23	-19.78	-21.67	34.26
4	4	Rx	mini	0	-6.98	-32.78	8.12	0
4	4		maxi	0	-4.14	-19.43	4.81	0
4	4	Ry	mini	0	-19.38	-74.55	24.19	0
4	4		maxi	0	0.35	-23.83	-4.51	0
4	4	Rz	mini	0	-13.13	-82.03	11.73	0
4	4		maxi	0	-8.65	-15.02	14.20	0
4	4	Rxx	mini	0	0.35	-23.83	-4.51	0
4	4		maxi	0	-17.64	-53.61	24.65	0
4	4	Ryy	mini	0	-6.98	-32.78	8.12	0
4	4		maxi	0	-4.14	-19.43	4.81	0
5	5	Rx	mini	0	6.98	-32.78	-8.12	0
5	5		maxi	0	4.14	-19.43	-4.81	0
5	5	Ry	mini	0	-0.35	-23.83	4.51	0
5	5		maxi	0	19.38	-74.55	-24.19	0
5	5	Rz	mini	0	13.13	-82.03	-11.73	0
5	5		maxi	0	8.65	-15.02	-14.20	0
5	5	Rxx	mini	0	17.64	-53.61	-24.65	0
5	5		maxi	0	-0.35	-23.83	4.51	0
5	5	Ryy	mini	0	6.98	-32.78	-8.12	0
5	5		maxi	0	4.14	-19.43	-4.81	0
6	6	Rx	mini	0	0	-61.46	0	0
6	6		maxi	0	0	-36.42	0	0
6	6	Ry	mini	0	-9.00	-61.46	31.50	0
6	6		maxi	0	9.00	-36.42	-31.50	0
6	6	Rz	mini	0	0	-148.54	0	0

	Näud	C	min. max.	Rx [kN]	Ry [kN]	Rz [kN]	Rxx [kNm]	Ryy [kNm]
6	6		maxi	0	9.00	-36.42	-31.50	0
6	6	Rxx	mini	0	3.60	-126.77	-59.40	0
6	6		maxi	0	-3.60	-101.73	59.40	0
6	6	Ryy	mini	0	0	-61.46	0	0
6	6		maxi	0	0	-36.42	0	0
7	7	Rx	mini	0	0	-61.46	0	0
7	7		maxi	0	0	-36.42	0	0
7	7	Ry	mini	0	-9.00	-61.46	31.50	0
7	7		maxi	0	9.00	-36.42	-31.50	0
7	7	Rz	mini	0	0	-148.54	0	0
7	7		maxi	0	9.00	-36.42	-31.50	0
7	7	Rxx	mini	0	3.60	-126.77	-59.40	0
7	7		maxi	0	-3.60	-101.73	59.40	0
7	7	Ryy	mini	0	0	-61.46	0	0
7	7		maxi	0	0	-36.42	0	0
8	8	Rx	mini	-5.70	10.89	-81.28	-44.33	-41.85
8	8		maxi	5.70	9.02	-48.17	-35.25	41.85
8	8	Ry	mini	0	-13.03	-48.17	15.52	0
8	8		maxi	0	20.34	-81.28	-108.90	0
8	8	Rz	mini	0	4.59	-142.23	-22.27	0
8	8		maxi	0	9.02	-48.17	-35.25	0
8	8	Rxx	mini	0	20.34	-107.78	-127.89	0
8	8		maxi	0	-13.03	-74.67	34.52	0
8	8	Ryy	mini	-5.70	10.89	-81.28	-44.33	-41.85
8	8		maxi	5.70	9.02	-48.17	-35.25	41.85



Lastfälle für aussergewöhnliche Bemessungssituation (Anprall)

	Näud	C	min. max.	Rx [kN]	Ry [kN]	Rz [kN]	Rxx [kNm]	Ryy [kNm]
1	1	Rx	mini	-60.00	0	-35.83	0	-36.00
1	1		maxi	60.00	0	-35.83	0	36.00
1	1	Ry	mini	0	-60.00	-35.83	36.00	0
1	1		maxi	0	60.00	-35.83	-36.00	0
1	1	Rz	mini	0	60.00	-35.83	-36.00	0
1	1		maxi	0	60.00	-35.83	-36.00	0
1	1	Rxx	mini	0	60.00	-35.83	-36.00	0
1	1		maxi	0	-60.00	-35.83	36.00	0
1	1	Ryy	mini	-60.00	0	-35.83	0	-36.00
1	1		maxi	60.00	0	-35.83	0	36.00
2	2	Rx	mini	-60.00	1.35	-52.88	-8.57	-36.00
2	2		maxi	60.00	1.35	-52.88	-8.57	36.00
2	2	Ry	mini	0	-58.65	-51.15	24.92	0
2	2		maxi	0	61.35	-54.61	-42.07	0
2	2	Rz	mini	0	61.35	-54.61	-42.07	0
2	2		maxi	0	-58.65	-51.15	24.92	0
2	2	Rxx	mini	0	61.35	-54.61	-42.07	0
2	2		maxi	0	-58.65	-51.15	24.92	0
2	2	Ryy	mini	-60.00	1.35	-52.88	-8.57	-36.00
2	2		maxi	60.00	1.35	-52.88	-8.57	36.00
3	3	Rx	mini	-60.00	7.15	-30.24	-15.35	-36.00
3	3		maxi	60.00	7.15	-30.24	-15.35	36.00
3	3	Ry	mini	0	-52.85	-31.97	18.15	0
3	3		maxi	0	67.15	-28.51	-48.84	0
3	3	Rz	mini	0	-52.85	-31.97	18.15	0
3	3		maxi	0	67.15	-28.51	-48.84	0
3	3	Rxx	mini	0	67.15	-28.51	-48.84	0
3	3		maxi	0	-52.85	-31.97	18.15	0
3	3	Ryy	mini	-60.00	7.15	-30.24	-15.35	-36.00
3	3		maxi	60.00	7.15	-30.24	-15.35	36.00
4	4	Rx	mini	-60.00	-5.17	-24.28	6.01	-36.00
4	4		maxi	60.00	-5.17	-24.28	6.01	36.00
4	4	Ry	mini	0	-65.17	-22.55	39.51	0
4	4		maxi	0	54.83	-26.01	-27.48	0
4	4	Rz	mini	0	54.83	-26.01	-27.48	0
4	4		maxi	0	-65.17	-22.55	39.51	0
4	4	Rxx	mini	0	54.83	-26.01	-27.48	0
4	4		maxi	0	-65.17	-22.55	39.51	0
4	4	Ryy	mini	-60.00	-5.17	-24.28	6.01	-36.00
4	4		maxi	60.00	-5.17	-24.28	6.01	36.00
5	5	Rx	mini	-60.00	5.17	-24.28	-6.01	-36.00
5	5		maxi	60.00	5.17	-24.28	-6.01	36.00
5	5	Ry	mini	0	-54.83	-26.01	27.48	0
5	5		maxi	0	65.17	-22.55	-39.51	0
5	5	Rz	mini	0	-54.83	-26.01	27.48	0
5	5		maxi	0	65.17	-22.55	-39.51	0
5	5	Rxx	mini	0	65.17	-22.55	-39.51	0
5	5		maxi	0	-54.83	-26.01	27.48	0
5	5	Ryy	mini	-60.00	5.17	-24.28	-6.01	-36.00
5	5		maxi	60.00	5.17	-24.28	-6.01	36.00
6	6	Rx	mini	-60.00	0	-45.53	0	-36.00
6	6		maxi	60.00	0	-45.53	0	36.00
6	6	Ry	mini	0	-60.00	-45.53	36.00	0
6	6		maxi	0	60.00	-45.53	-36.00	0
6	6	Rz	mini	0	60.00	-45.53	-36.00	0

	Nœud	C	min. max.	Rx [kN]	Ry [kN]	Rz [kN]	Rxx [kNm]	Ryy [kNm]
6	6		maxi	0	60.00	-45.53	-36.00	0
6	6	Rxx	mini	0	60.00	-45.53	-36.00	0
6	6		maxi	0	-60.00	-45.53	36.00	0
6	6	Ryy	mini	-60.00	0	-45.53	0	-36.00
6	6		maxi	60.00	0	-45.53	0	36.00
7	7	Rx	mini	-60.00	0	-45.53	0	-36.00
7	7		maxi	60.00	0	-45.53	0	36.00
7	7	Ry	mini	0	-60.00	-45.53	36.00	0
7	7		maxi	0	60.00	-45.53	-36.00	0
7	7	Rz	mini	0	60.00	-45.53	-36.00	0
7	7		maxi	0	60.00	-45.53	-36.00	0
7	7	Rxx	mini	0	60.00	-45.53	-36.00	0
7	7		maxi	0	-60.00	-45.53	36.00	0
7	7	Ryy	mini	-60.00	0	-45.53	0	-36.00
7	7		maxi	60.00	0	-45.53	0	36.00
8	8	Rx	mini	-60.00	3.40	-60.21	-16.50	-36.00
8	8		maxi	60.00	3.40	-60.21	-16.50	36.00
8	8	Ry	mini	0	-56.60	-60.21	19.50	0
8	8		maxi	0	63.40	-60.21	-52.50	0
8	8	Rz	mini	0	63.40	-60.21	-52.50	0
8	8		maxi	0	63.40	-60.21	-52.50	0
8	8	Rxx	mini	0	63.40	-60.21	-52.50	0
8	8		maxi	0	-56.60	-60.21	19.50	0
8	8	Ryy	mini	-60.00	3.40	-60.21	-16.50	-36.00
8	8		maxi	60.00	3.40	-60.21	-16.50	36.00

Massgebender Lastfall

## 4.2 Statik

Bhf Lattrigen - Fundament Perrondach 13 Anprall																																																																																																																												
Programm DC-Fundament *** Copyright 2006-2020 DC-Software Doster & Christmann GmbH, D-81245 München ***  Eingabedatei: S:\Tiefbau\9X-XX\92-00_ASM\92-2X Linie T\92-22 Projekte Linie T \92-22.27_asm_Bahnhof_Lattrigen\04_Statik\Mastfundamente\2020-07-16_Fundament Perrondach 13 Anprall.dbf																																																																																																																												
<h3 style="margin: 0;">Fundament-Berechnung nach SIA 267</h3> <p style="margin: 5px 0 0 20px;">Erddruck nach SIA 261</p> <p style="margin: 10px 0 0 20px;">Berechnung nach GZ Typ 2</p> <p style="margin: 10px 0 0 20px;">Fundamenttyp: Einzelfundament</p> <p style="margin: 10px 0 0 20px;"><b>Fundamentabmessungen</b></p> <div style="margin: 5px 0 0 20px;">             Breite b : 2.40 m              Breite quer a : 2.40 m              Unterkante : -1.20 m              Höhe h : 0.60 m              Stütze b x d = : 0.60 x 0.60              Wichte <math>\gamma</math> : 25.00 kN/m<sup>3</sup> </div> <p style="margin: 10px 0 0 20px;"><b>Schichtdaten</b></p> <table style="margin: 5px 0 0 20px; width: 100%; border-collapse: collapse;"> <thead> <tr> <th></th> <th>Auffüllung</th> <th>Schicht C</th> <th>Schicht D</th> </tr> </thead> <tbody> <tr> <td>Schichthöhe <math>\Delta h</math> [m]</td> <td>0.60</td> <td>0.90</td> <td>98.50</td> </tr> <tr> <td>Innere Reibung <math>\varphi'</math> [°]</td> <td>34.00</td> <td>28.00</td> <td>33.00</td> </tr> <tr> <td>Kohäsion c [kN/m<sup>2</sup>]</td> <td>0.00</td> <td>0.00</td> <td>0.00</td> </tr> <tr> <td>Wichte Boden <math>\gamma</math> [kN/m<sup>3</sup>]</td> <td>21.00</td> <td>19.00</td> <td>20.00</td> </tr> <tr> <td>Wichte unter Auftrieb <math>\gamma</math> [kN/m<sup>3</sup>]</td> <td>10.00</td> <td>9.00</td> <td>10.00</td> </tr> <tr> <td>Steifemodul <math>E_s</math> [MN/m<sup>2</sup>]</td> <td>100.00</td> <td>100.00</td> <td>100.00</td> </tr> <tr> <td>zul. Bodenpressung [kN/m<sup>2</sup>]</td> <td></td> <td></td> <td></td> </tr> </tbody> </table> <p style="margin: 10px 0 0 20px;"><b>Einzellasten</b></p> <table style="margin: 5px 0 0 20px; width: 100%; border-collapse: collapse;"> <thead> <tr> <th>Lastfall</th> <th>Kat.</th> <th>V [kN]</th> <th>H<sub>x</sub> [kN]</th> <th>H<sub>y</sub> [kN]</th> <th>M<sub>x</sub> [kNm]</th> <th>M<sub>y</sub> [kNm]</th> <th>x [m]</th> <th>y [m]</th> <th>z [m]</th> <th><math>\gamma</math> Grundba.</th> <th><math>\gamma</math> Sessio.</th> <th><math>\psi_0</math></th> <th><math>\psi_1</math></th> <th><math>\psi_2</math></th> </tr> </thead> <tbody> <tr> <td>Eigengew.</td> <td>G</td> <td>86.4</td> <td>0.0</td> <td>0.0</td> <td>0.0</td> <td>0.0</td> <td>0.00</td> <td>0.00</td> <td>-1.20</td> <td>1.35</td> <td>1.35</td> <td></td> <td></td> <td></td> </tr> <tr> <td>1</td> <td>Nutz.A</td> <td>60.0</td> <td>0.0</td> <td>64.0</td> <td>-53.0</td> <td>0.0</td> <td>0.00</td> <td>0.00</td> <td>0.20</td> <td>1.00</td> <td>1.00</td> <td>0.70</td> <td>0.50</td> <td>0.30</td> </tr> </tbody> </table> <p style="margin: 10px 0 0 20px;"><b>Teilsicherheitsbeiwerte für GZ Typ 1</b></p> <table style="margin: 5px 0 0 20px; width: 100%; border-collapse: collapse;"> <thead> <tr> <th><math>\gamma</math></th> <th>G,inf</th> <th>G,sup</th> <th>Q</th> <th>Ea</th> </tr> </thead> <tbody> <tr> <td></td> <td>0.90</td> <td>1.10</td> <td>1.50</td> <td>1.35</td> </tr> </tbody> </table> <p style="margin: 10px 0 0 20px;"><b>Teilsicherheitsbeiwerte für GZ Typ 2</b></p> <table style="margin: 5px 0 0 20px; width: 100%; border-collapse: collapse;"> <thead> <tr> <th><math>\gamma</math></th> <th>G</th> <th>Q</th> <th>R</th> <th>R,h</th> <th><math>\gamma</math></th> <th><math>\varphi</math></th> <th>c</th> <th>c<sub>u</sub></th> <th>Ea</th> <th>E0g</th> <th>Ep</th> <th>G,inf</th> </tr> </thead> <tbody> <tr> <td></td> <td>1.35</td> <td>1.50</td> <td>1.00</td> <td>1.00</td> <td>1.00</td> <td>1.20</td> <td>1.50</td> <td>1.50</td> <td>1.35</td> <td>1.35</td> <td>1.40</td> <td>0.80</td> </tr> </tbody> </table> <div style="margin: 10px 0 0 20px;"> <p><math>\gamma</math> - Teilsicherheitsbeiwert für ...</p> <p>G ständige Lasten</p> <p>Q veränderliche Lasten</p> <p>R Partialfaktor Grundbruch</p> <p>R,h Gleitwiderstand</p> <p><math>\gamma</math> Wichte</p> <p><math>\varphi</math> Reibungsbeiwert <math>\tan \varphi</math></p> <p>c Kohäsion c</p> <p>c<sub>u</sub> Kohäsion undränirt c<sub>u</sub></p> <p>Ea Aktiver Erddruck</p> <p>E0g Ruhedruck</p> </div>													Auffüllung	Schicht C	Schicht D	Schichthöhe $\Delta h$ [m]	0.60	0.90	98.50	Innere Reibung $\varphi'$ [°]	34.00	28.00	33.00	Kohäsion c [kN/m <sup>2</sup> ]	0.00	0.00	0.00	Wichte Boden $\gamma$ [kN/m <sup>3</sup> ]	21.00	19.00	20.00	Wichte unter Auftrieb $\gamma$ [kN/m <sup>3</sup> ]	10.00	9.00	10.00	Steifemodul $E_s$ [MN/m <sup>2</sup> ]	100.00	100.00	100.00	zul. Bodenpressung [kN/m <sup>2</sup> ]				Lastfall	Kat.	V [kN]	H <sub>x</sub> [kN]	H <sub>y</sub> [kN]	M <sub>x</sub> [kNm]	M <sub>y</sub> [kNm]	x [m]	y [m]	z [m]	$\gamma$ Grundba.	$\gamma$ Sessio.	$\psi_0$	$\psi_1$	$\psi_2$	Eigengew.	G	86.4	0.0	0.0	0.0	0.0	0.00	0.00	-1.20	1.35	1.35				1	Nutz.A	60.0	0.0	64.0	-53.0	0.0	0.00	0.00	0.20	1.00	1.00	0.70	0.50	0.30	$\gamma$	G,inf	G,sup	Q	Ea		0.90	1.10	1.50	1.35	$\gamma$	G	Q	R	R,h	$\gamma$	$\varphi$	c	c <sub>u</sub>	Ea	E0g	Ep	G,inf		1.35	1.50	1.00	1.00	1.00	1.20	1.50	1.50	1.35	1.35	1.40	0.80
	Auffüllung	Schicht C	Schicht D																																																																																																																									
Schichthöhe $\Delta h$ [m]	0.60	0.90	98.50																																																																																																																									
Innere Reibung $\varphi'$ [°]	34.00	28.00	33.00																																																																																																																									
Kohäsion c [kN/m <sup>2</sup> ]	0.00	0.00	0.00																																																																																																																									
Wichte Boden $\gamma$ [kN/m <sup>3</sup> ]	21.00	19.00	20.00																																																																																																																									
Wichte unter Auftrieb $\gamma$ [kN/m <sup>3</sup> ]	10.00	9.00	10.00																																																																																																																									
Steifemodul $E_s$ [MN/m <sup>2</sup> ]	100.00	100.00	100.00																																																																																																																									
zul. Bodenpressung [kN/m <sup>2</sup> ]																																																																																																																												
Lastfall	Kat.	V [kN]	H <sub>x</sub> [kN]	H <sub>y</sub> [kN]	M <sub>x</sub> [kNm]	M <sub>y</sub> [kNm]	x [m]	y [m]	z [m]	$\gamma$ Grundba.	$\gamma$ Sessio.	$\psi_0$	$\psi_1$	$\psi_2$																																																																																																														
Eigengew.	G	86.4	0.0	0.0	0.0	0.0	0.00	0.00	-1.20	1.35	1.35																																																																																																																	
1	Nutz.A	60.0	0.0	64.0	-53.0	0.0	0.00	0.00	0.20	1.00	1.00	0.70	0.50	0.30																																																																																																														
$\gamma$	G,inf	G,sup	Q	Ea																																																																																																																								
	0.90	1.10	1.50	1.35																																																																																																																								
$\gamma$	G	Q	R	R,h	$\gamma$	$\varphi$	c	c <sub>u</sub>	Ea	E0g	Ep	G,inf																																																																																																																
	1.35	1.50	1.00	1.00	1.00	1.20	1.50	1.50	1.35	1.35	1.40	0.80																																																																																																																

Bhf Lattrigen - Fundament Perrondach 13 Anprall

Ep Passiver Erddruck  
G,inf günstige ständige Lasten  
G,sup ungünstige ständige Lasten  
Q ungünstige veränderliche Lasten

Lastfall-Kombinationen für Grundbaunachweise:

Komb.Nr.	Eigengew.	1
1	0.80	0.00
2	0.80	1.00
3	1.35	0.00
4	1.35	1.00

Lastfall-Kombinationen für Bemessung:

Komb.Nr.	Eigengew.	1
1	0.80	0.00
2	0.80	1.00
3	1.35	0.00
4	1.35	1.00

Ergebnisse:

Komb.Nr.	Sohl-normalsp. [kN/m²]	max.Boder- pressung [kN/m²]	Gleiten $T_d/R_d$	Grundbr. $N_d/R_d$	max. Setzung [mm]	e/d ständig	e/d gesamt	EQU: $E_{t,dbt}$ / $E_{t,alt}$
1	26.8	26.8	0.00	0.03	0.0	0.000	0.000	0.016
2	83.5	111.3	0.50	0.49	0.7	0.000	0.089	0.440
3	26.8	26.8	0.00	0.04	0.0	0.000	0.000	0.016
4	83.5	111.3	0.39	0.25	0.7	0.000	0.089	0.440

Maßgebend:

Komb.Nr.	Sohl-normalsp. [kN/m²]	max.Boder- pressung [kN/m²]	Gleiten $T_d/R_d$	Grundbr. $N_d/R_d$	max. Setzung [mm]	e/d ständig	e/d gesamt	EQU: $E_{t,dbt}$ / $E_{t,alt}$
	83.5	111.3	0.50	0.49	0.7	0.000	0.089	-1.249

Bewehrung:

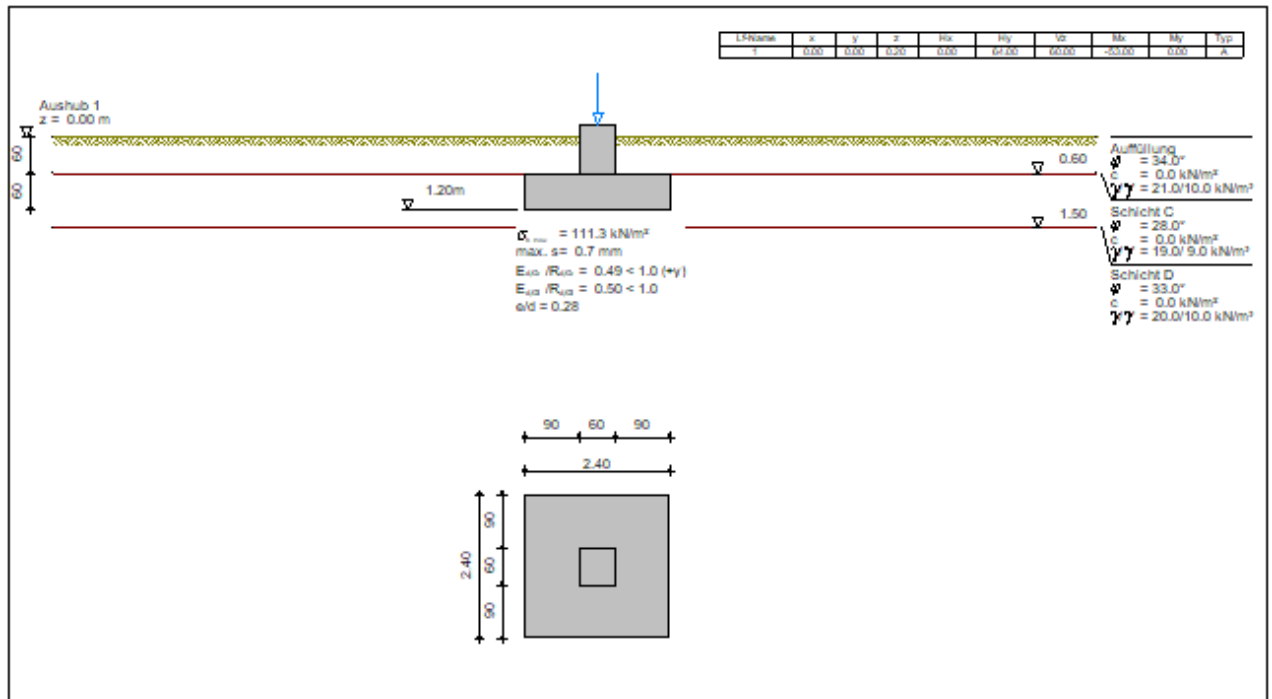
Komb.Nr.	$A_{s,x}$ unten [cm²]	$A_{s,y}$ unten [cm²]	$A_{s,x}$ oben [cm²]	$A_{s,y}$ oben [cm²]
1	0.0	0.0	0.1	0.1
2	0.7	3.0	0.0	0.0
3	0.0	0.0	0.0	0.0
4	0.6	3.1	0.0	0.0

Maßgebend:

Komb.Nr.	$A_{s,x}$ unten [cm²]	$A_{s,y}$ unten [cm²]	$A_{s,x}$ oben [cm²]	$A_{s,y}$ oben [cm²]
	0.7	3.1	0.1	0.1



Bhf Lattrigen - Fundament Perrondach 13 Anprall				
<b>Ergebnisse</b>				
Breite der Grundbruchfigur	=	2.50 m		
Tiefe der Grundbruchfigur	=	0.60 m		
Maßgebende Bodenkennwerte $\gamma$ oberhalb Gründungssohle	=	19.17 kN/m <sup>3</sup>		19.17 kN/m <sup>3</sup>
$\gamma$ unterhalb Gründungssohle	=	19.30 kN/m <sup>3</sup>		19.30 kN/m <sup>3</sup>
Reibungswinkel $\phi$	=	30.87 °		26.48 °
Kohäsion c	=	0.00 kN/m <sup>2</sup>		0.00 kN/m <sup>2</sup>
Tragfähigkeitsbeiwerte $N_c, N_q, N_\gamma$	=	23.04	12.48	10.29
Lastneigungsbeiwerte $i_c, i_q, i_\gamma$	=	0.33	0.38	0.25
Formbeiwerte $s_c, s_q, s_\gamma$	=	1.19	1.18	0.86
Tiefenbeiwerte $d_c, d_q, d_\gamma$	=	1.38	1.29	1.00
Grundbruchspannung $p_d$	=	185.24 kN/m <sup>2</sup>		
Bemessungswert Grundbruchwiderstand $R_d$	=	376.21 kN		
Bemessungswert Beanspruchung $N_d$	=	183.55 kN		
Nachweis: $N_d / R_d = 0.49 < 1.0$				*** Nachweis erfüllt ***
<b>Setzungsberechnung (GZG) im GZ Gebrauchstauglichkeit</b>				
bezogen auf die Bodenpressungen an den kennzeichnenden Punkten:				
Maßgebende Lastfall-Kombination: Nr. 2				
Setzung am Eckpunkt (-b/2;-a/2):	-0.1 mm	(Hebung)		
Setzung am Eckpunkt (+b/2;-a/2):	0.7 mm			
Setzung am Eckpunkt (-b/2;+a/2):	-0.1 mm	(Hebung)		
Setzung am Eckpunkt (+b/2;+a/2):	0.7 mm			
Maximale Setzung:	0.7 mm			
Angesetzte Grenztiefe:	4.50 m			



Bhf Lattrigen - Fundament Perrondach 13 Anprall

### Stahlbetonbemessung nach SIA 262

Materialwerte: Beton C30/37 Bewehrung: B500B

Randabstände Bewehrungsachse:

$d_{\text{oben}, x} = 5.0 \text{ cm}$ ,  $d_{\text{unten}, x} = 5.0 \text{ cm}$ ,  $d_{\text{oben}, y} = 5.0 \text{ cm}$ ,  $d_{\text{unten}, y} = 5.0 \text{ cm}$

Maßgebende Schnittgrößen (Schnitt am Stützenrand)

Sicherheitsbeiwerte

für Lasten:  $\gamma_f$  nach GZ Typ 2

für Widerstände:  $\gamma_{Rt} = 1.50$  (Beton), 1.15 (Stahl)

#### Bemessungsschnittgrößen

Moment im Querschnitt:  $\max. M_{\text{ed}} = 18.73 \text{ kNm}$

aus Kombination Nr. 2: maßgebende Sohlschnittgrößen  $N_d = 183.6 \text{ kN}$ ,  $M_{\text{ed}} = -142.6 \text{ kNm}$ ,  $M_{\text{yd}} = 0.0 \text{ kNm}$

Moment im Querschnitt:  $\min. M_{\text{ed}} = 0.00 \text{ kNm}$

aus Kombination Nr. 1: maßgebende Sohlschnittgrößen  $N_d = 54.4 \text{ kN}$ ,  $M_{\text{ed}} = 0.0 \text{ kNm}$ ,  $M_{\text{yd}} = 0.0 \text{ kNm}$

Moment im Querschnitt:  $\max. M_{\text{ed}} = 80.51 \text{ kNm}$

aus Kombination Nr. 4: maßgebende Sohlschnittgrößen  $N_d = 151.9 \text{ kN}$ ,  $M_{\text{ed}} = -142.6 \text{ kNm}$ ,  $M_{\text{yd}} = 0.0 \text{ kNm}$

Moment im Querschnitt:  $\min. M_{\text{ed}} = 0.00 \text{ kNm}$

aus Kombination Nr. 2: maßgebende Sohlschnittgrößen  $N_d = 54.4 \text{ kN}$ ,  $M_{\text{ed}} = 0.0 \text{ kNm}$ ,  $M_{\text{yd}} = 0.0 \text{ kNm}$

Erforderliche Bewehrung:

erf.  $A_{s, \text{unten}} = 0.7 \text{ cm}^2$

gewählt: 1  $\varnothing 16 \text{ mm} = 2.0 \text{ cm}^2$

Verteilung der unteren Bewehrung in x-Richtung:

Breite [cm]:	240.0
gewählt:	1 $\varnothing 16$

erf.  $A_{s, \text{oben}} = 0.1 \text{ cm}^2$ , gewählt: 1  $\varnothing 16 \text{ mm} = 2.0 \text{ cm}^2$

Verteilung der oberen Bewehrung in x-Richtung:

Breite [cm]:	240.0
gewählt:	1 $\varnothing 16$

erf.  $A_{s, \text{unten}} = 3.1 \text{ cm}^2$

gewählt: 2  $\varnothing 16 \text{ mm} = 4.0 \text{ cm}^2$

Verteilung der unteren Bewehrung in y-Richtung:

Breite [cm]:	240.0
gewählt:	2 $\varnothing 16$

erf.  $A_{s, \text{oben}} = 0.1 \text{ cm}^2$ , gewählt: 1  $\varnothing 16 \text{ mm} = 2.0 \text{ cm}^2$

Verteilung der oberen Bewehrung in y-Richtung:

Breite [cm]:	240.0
gewählt:	1 $\varnothing 16$

#### Durchstanznachweis

(maßgebende Lastfall-Kombination Nr. 2)

Beiwert für nichtrotationssymm. Querkraftverteilung  $\beta = 3.57$

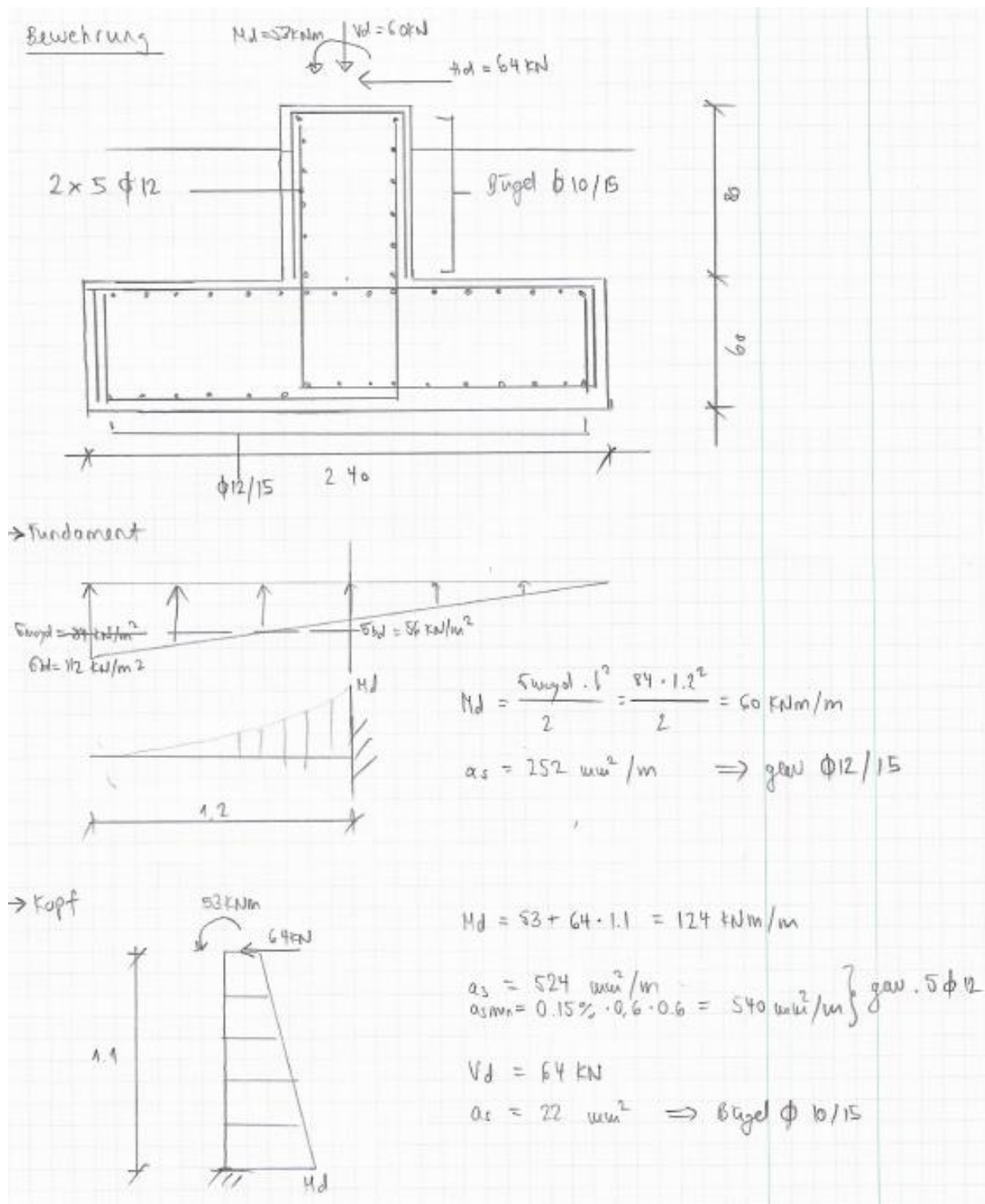
Abstand des Nachweisschnitts vom Stützenrand = 0.28 m

Umfang des Nachweisschnitts = 4.13 m



Bhf Lattrigen - Fundament Perrondach 13 Anprall	
Fläche des Nachweisschnitts	= 1.26 m <sup>2</sup>
Gesamt-Querkraft $V_d$	= 60.0 kN
Bemessungswert der Querkraft $V_{Ed}$	= 213.9 kN
Mittelwert des Biegemoments $m_{ed}$	= 45.4 kNm/m
Biege Widerstand $m_{fd}$	= 0.0 kNm/m
Querkrafttragfähigkeit $V_{fL,C}$	= 4974.0 kN
max. Querkrafttragfähigkeit $V_{fL,max}$	= 8704.6 kN
Keine Durchstanzbewehrung erforderlich: $V_{Ed} \leq V_{fL,C}$	
<b><u>Zusammenfassung</u></b>	
Alle Nachweise sind erfüllt.	

## Bewehrung



Objekt-Nr. 92-22.27

Objekt Bhf Lattrigen

Bauteil Fundamente Perrondach

## Betonbemessung nach SIA 262

$M_d =$	124	kNm	
$b =$	1000	mm	(Druckzone)
$d =$	550	mm	(Statische Höhe)
$f_{cd} =$	20	N/mm <sup>2</sup>	(Betondruckfestigkeit, Art. 4.2.1)
$f_{sd} =$	435	N/mm <sup>2</sup>	(Stahlzugfestigkeit, Art. 4.2.2)

$$x = 13.4 \text{ mm}$$

$$A_{s, \text{erf}} = 524 \text{ mm}^2$$

Rechteck

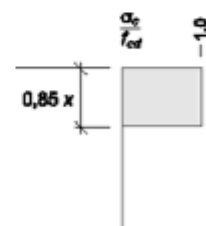
50051

2. Lösung der quadratischen Gleichung

$$Z_d = 228 \text{ kN}$$

$$D = 228 \text{ kN}$$

$$M_{rd} = 124 \text{ kNm}$$



$$A_{s, \text{erf}} + A_{s, L} = 597 \text{ mm}^2$$

(inkl. Erhöhung infolge Querkraft)

$$A_{s, \text{gewählt}} =$$

### Querkraftsbemessung

$V_d =$	64	kN
$z =$	495	mm
$\alpha =$	45	°
$s =$	150	mm

$$A_{sw, \text{tot}} = 45 \text{ mm}^2$$

$$2\text{-schnittig} = 22 \text{ mm}^2$$

$$4\text{-schnittig} = 11 \text{ mm}^2$$

d12/15

### Vergrößerung der Biegebewehrung infolge Querkraft

$F_{tVd} =$	64	kN
$A_{s, L} =$	74	mm <sup>2</sup>

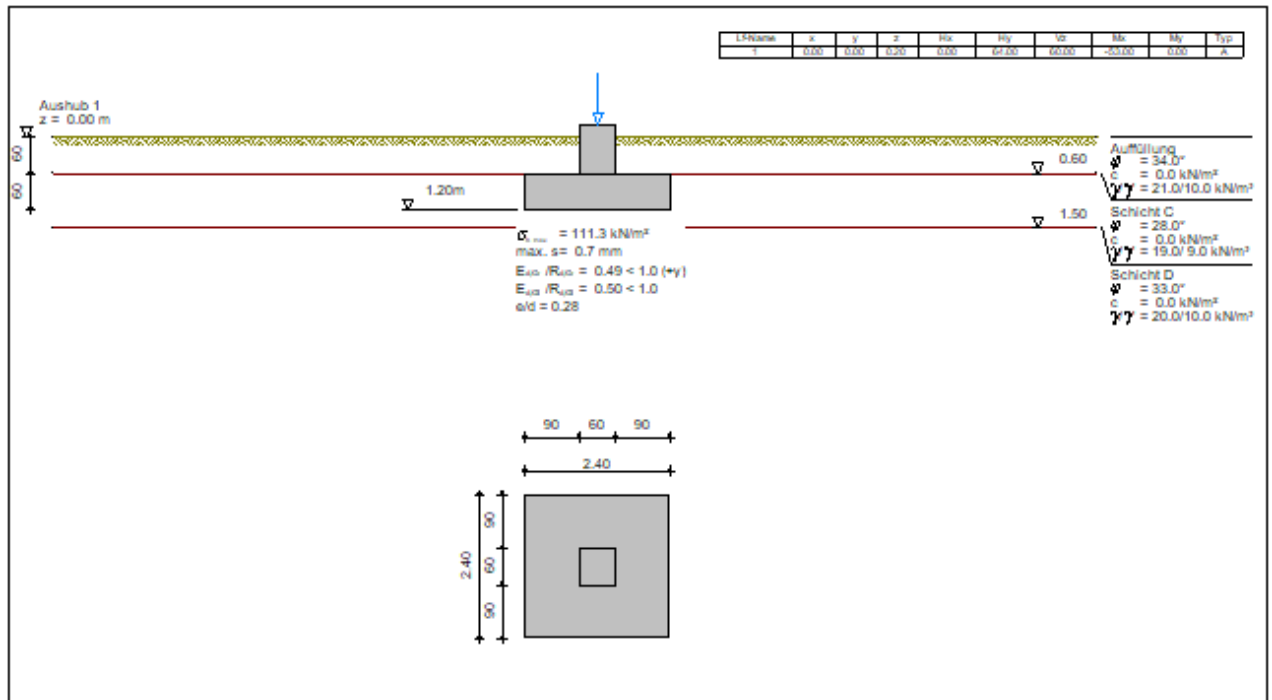
### Kontrolle der Stegbreite

$$bw = 1000 \text{ mm}$$

$$> 21.5488215 \text{ mm}$$

Nachweis i.O.

## Bodenpressung

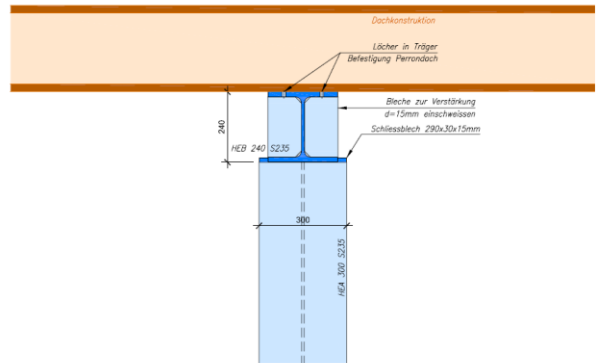
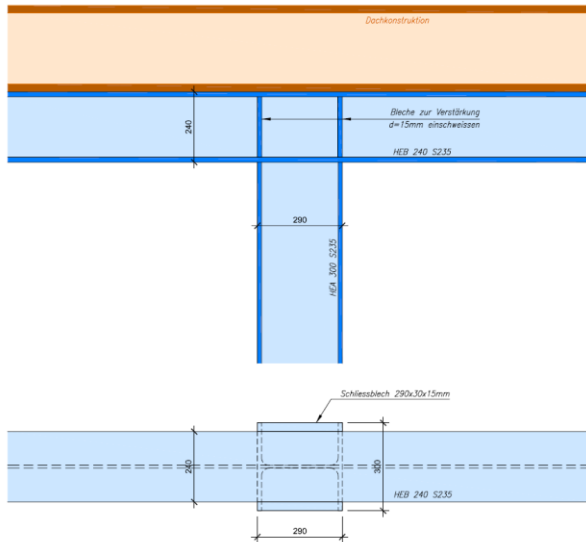


Gemäss Baugrunduntersuchung [13] ist das Fundament in der Schicht C fundiert.  
 Die zulässige Bodenpressung beträgt gem. Geologie 120 – 180 kN/m<sup>2</sup> somit haben wir:

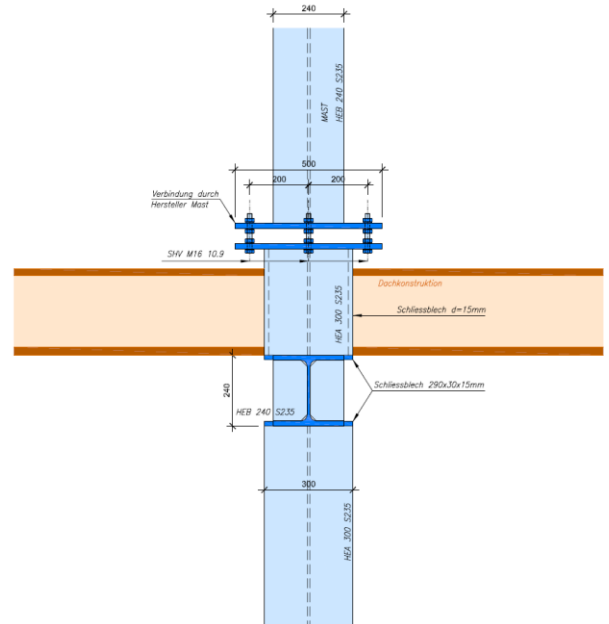
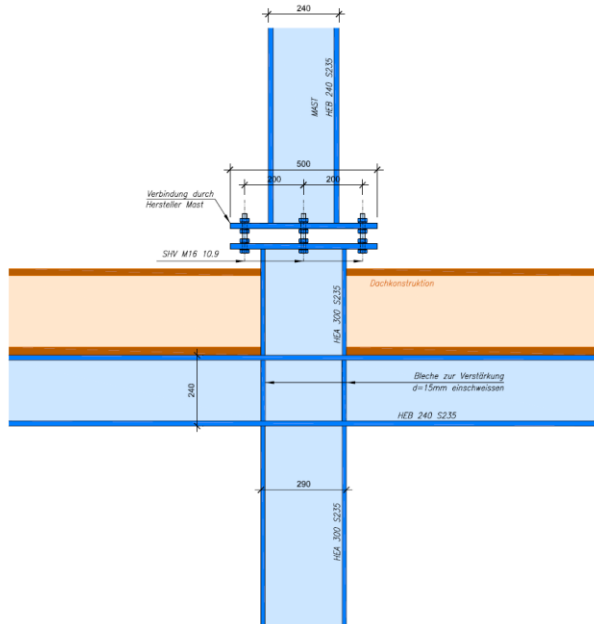
$$\sigma_{Ed} = 112 \text{ kN/m}^2 < 120 \text{ kN/m}^2 = \sigma_{Rd}$$



## Detail Verbindung



## Detail Verbindung mit Mast



Der Fahrleitungsmast wird isoliert auf dem Perrondach montiert, gem. Angaben Lieferant Mast.

## 6 Grundlagen

### 6.1 Gesetzliche Grundlagen

- [1] AB-EBV Ausführungsbestimmungen zur Eisenbahnverordnung in der zum Vertragsabschluss gültigen Fassung
- [2] EBG Eisenbahngesetz
- [3] Kantonale Richtlinien und Weisungen
- [4] Brandschutzrichtlinie Brandschutzabstände Tragwerke Brandabschnitte vom 01.01.2017

### 6.2 Normen

- [5] SIA 260 (2013) Grundlagen der Projektierung von Tragwerken
- [6] SIA 261 (2014) Einwirkungen auf Tragwerke
- [7] SIA 261/1 (2003) Ergänzende Festlegungen
- [8] SIA 262 (2013) Betonbau
- [9] SIA 262/1 (2019) Ergänzende Festlegungen
- [10] SIA 263 (2013) Stahlbau
- [11] SIA 263/1 (2013) Ergänzende Festlegungen
- [12] SIA 265 (2012) Holzbau
- [13] SIA 265/1 (2018) Ergänzende Festlegungen
- [14] SIA 267 (2013) Geotechnik
- [15] SIA 267/1 (2013) Ergänzende Festlegungen

### 6.3 Reglemente, Weisungen und Merkblätter

- [16] RTE Regelungen

### 6.4 Projektspezifische Grundlagen

- [17] Dossier Vernehmlassung Auflageprojekt 2020
  - Plan Situation 1:200, Nr. 05.3, Beilage Nr. 05.3 von EBB, vom Entwurf 27.05.2020
  - Plan Querprofile Blatt 1, 1:100, Nr. 08.1, Beilage Nr. 08.1, von EBB, vom Entwurf 11.05.2020
  - Plan Querprofile Blatt 2, 1:100, Nr. 08.2, Beilage Nr. 08.2, von EBB, vom Entwurf 11.05.2020
  - Plan Normalprofile, 1:50, Nr. 09, Beilage Nr. 09, von EBB, vom Entwurf 11.05.2020
- [18] Baugrunduntersuchung, Bericht Nr. 318167-4, Wanner AG, 12.02.2020
- [19] Schreiben BAV vom 21.04.2017
- [20] Nutzungsvereinbarung
- [21] Projektbasis
- [22] Fundamentlasten, Furrer + Frey, 28.01.2020

## 7 Unterschriften

**Bauherrschaft**

**Aare Seeland mobil AG**  
Grubenstrasse 12  
4900 Langenthal

Langenthal, 16. Juli 2020  
Ort, Datum



Unterschrift

**Ingenieur**

**Schmid & Pletscher AG**  
Ingenieure ETH/SIA/USIC  
Hauptstrasse 66  
2560 Nidau

Nidau, 16. Juli 2020  
Ort, Datum



Unterschrift